

# Modelos matemáticos y numéricos para biomecánica cardiovascular

Ingeniería Biomédica

J.M.<sup>a</sup> Goicolea

*Grupo de Mecánica Computacional  
Escuela de Ingenieros de Caminos,  
Universidad Politécnica de Madrid*

11 de noviembre de 2024

Conferencia programa de doctorado – Univ. de Sevilla



# Índice

## 1 Introducción

- Ingeniería Biomédica y Biomecánica Computacional

## 2 Tejidos blandos

- Composición y propiedades mecánicas
- Modelos: Elasticidad no lineal

## 3 Fluidos

- Modelos para CFD
- Fenómenos básicos y aplicaciones

## 4 Modelos numéricos – Elementos Finitos

- Concepto EF 1 gdl
- Ecuaciones para elasticidad no lineal
- Discretización – Galerkin
- Resolución ecuaciones no lineales
- SW (libre) para sólidos y fluidos

## 5 Aplicaciones

- Ejemplos de aplicación: Aorta
- Ejemplos de aplicación: Coronarias

# Índice

## 1 Introducción

- Ingeniería Biomédica y Biomecánica Computacional

## 2 Tejidos blandos

- Composición y propiedades mecánicas
- Modelos: Elasticidad no lineal

## 3 Fluidos

- Modelos para CFD
- Fenómenos básicos y aplicaciones

## 4 Modelos numéricos – Elementos Finitos

- Concepto EF 1 gdl
- Ecuaciones para elasticidad no lineal
- Discretización – Galerkin
- Resolución ecuaciones no lineales
- SW (libre) para sólidos y fluidos

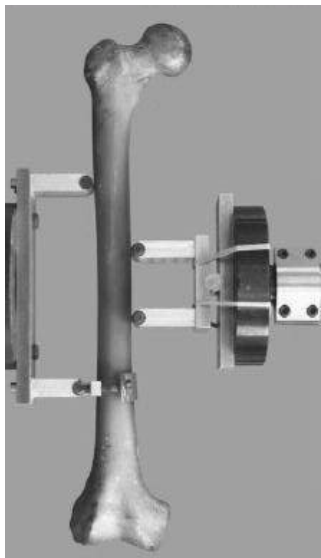
## 5 Aplicaciones

- Ejemplos de aplicación: Aorta
- Ejemplos de aplicación: Coronarias

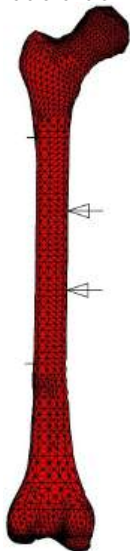
- La Ingeniería Biomédica tiene como objetivo desarrollar y aplicar la **tecnología al servicio de la medicina**.
- Abarca distintos campos:
  - Dispositivos eléctricos y electrónicos, instrumentación
  - Datos y señales médicas, redes, Inteligencia artificial
  - Imágenes biomédicas
  - Biomecánica y biomateriales
- Aquí nos centraremos en la **Biomecánica computacional en aplicaciones cardiovasculares**.
- Motivación para su estudio y desarrollo:
  - 1 Contribuye a **salvar vidas** y mejorar la salud
  - 2 Incluye **retos complejos** de tipo matemático / numérico / multidisciplinar



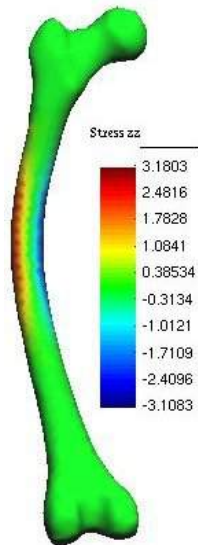
# Biomecánica computacional: Fémur Estándar



Modelo de E.F.



Resultados: tensión  $\sigma_{zz}$



# Biomecánica computacional: Prótesis hombro

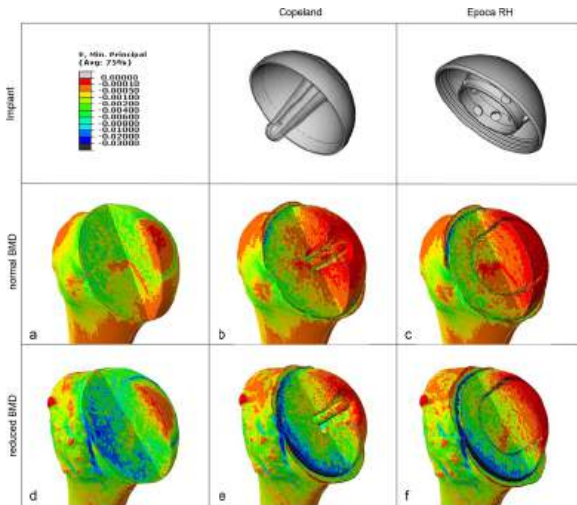


Fig. 2 Compressive strains of two humeral FE models (normal BMD (a–c) and reduced BMD (d–f) before and after virtual implantation of two different CSRA designs (centered-stem Copeland (b, e) and conical-crown Epoca RH (c, f)). The bone is highly unloaded (...)

**Stress-shielding induced bone remodeling in cementless shoulder resurfacing arthroplasty: a finite element analysis and in vivo results.** Journal of Biomechanics, Volume 47, Issue 14, 2014, 3509 - 3516

# Biomecánica computacional: pieza dental

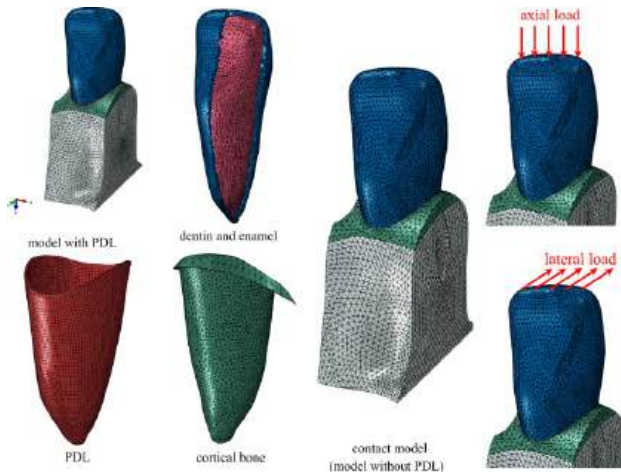


Fig. 1 FE model of central maxillary incisor with and without PDL under intrusive (axial) loading and lateral loading.

**Finite element simulation of the behavior of the periodontal ligament: A validated nonlinear contact model**  
Journal of Biomechanics, Volume 47, Issue 12, 2014, 2883 - 2890

# Biomecánica computacional: disco intervertebral

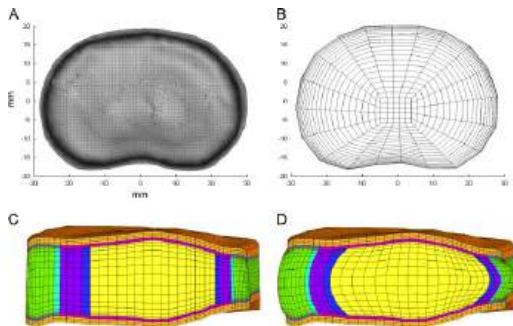


Fig. 2 (A) Axial view of mean disc geometry. (B) 2D mesh created using axial silhouette of mean disc geometry. (C) Mid-sagittal plane-cut of complete vertebra-disc-vertebra segment after 3D extrusion and meshing. (D) Final mesh after simulated hydration in

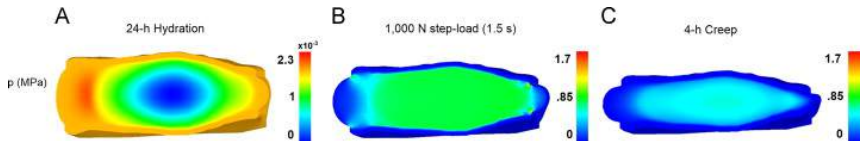


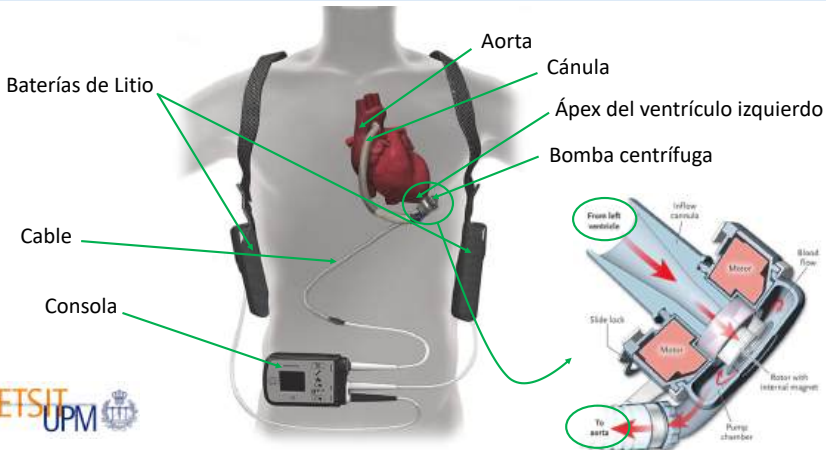
Fig. 5 Fluid pressure (MPa) at the end of the 24 h hydration (A), immediately following the application of the 1000 N step-load (B), and after 4 h of creep (C).

Validation and application of an intervertebral disc finite element model utilizing independently constructed tissue-level constitutive formulations that are nonlinear, anisotropic, and time-dependent





## DISPOSITIVOS DE ASISTENCIA VENTRICULAR: HeartMate 3™



# Dinámica de Fluidos – Hemodinámica (2)

## ESTUDIO Y SIMULACIÓN BIOMECÁNICA (TFG A. Aranguren, 2021)

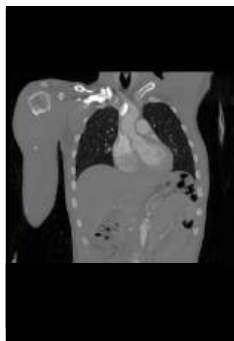


Imagen TAC



Segmentación  
ITK-SNAP

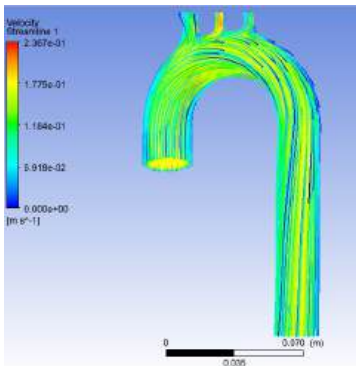


Malla de volúmenes finitos  
Ansys Fluent

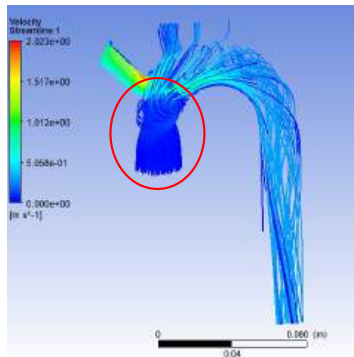
VOLÚMENES FINITOS → NAVIER-STOKES

# Dinámica de Fluidos – Hemodinámica (3)

## ESTUDIO Y SIMULACIÓN BIOMECÁNICA (TFG A. Aranguren, 2021)



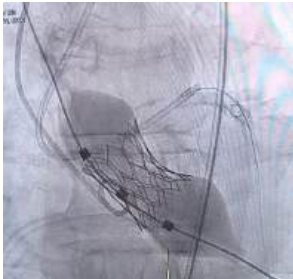
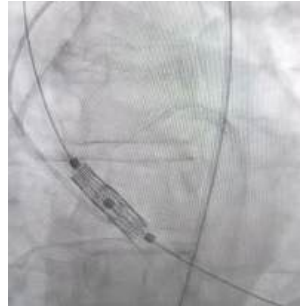
Ausencia de vórtices y de zonas con velocidad nula



Vorticidad y zonas con velocidad nula  
→ estancamiento, aneurismas...



# Implantación Válvula Aórtica con balón (TAVI)



Servicio de Hemodinámica,  
Hospital P de Hierro  
Majadahonda  
Imágenes: Ana Bueno,  
María Maqueda  
06/11/2024



# Índice

- 1 **Introducción**
  - Ingeniería Biomédica y Biomecánica Computacional
- 2 **Tejidos blandos**
  - Composición y propiedades mecánicas
  - Modelos: Elasticidad no lineal
- 3 **Fluidos**
  - Modelos para CFD
  - Fenómenos básicos y aplicaciones
- 4 **Modelos numéricos – Elementos Finitos**
  - Concepto EF 1 gdl
  - Ecuaciones para elasticidad no lineal
  - Discretización – Galerkin
  - Resolución ecuaciones no lineales
  - SW (libre) para sólidos y fluidos
- 5 **Aplicaciones**
  - Ejemplos de aplicación: Aorta
  - Ejemplos de aplicación: Coronarias



# Distintas escalas del tejido

amino acids  
~1 nm



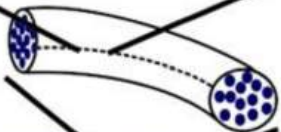
tropocollagen  
~300 nm



fibrils  
~1  $\mu$ m



fibers, fascicles  
~10  $\mu$ m



continuum  
>>100  $\mu$ m



Atomistic &  
molecular  
modeling

FEM  
(continuum)  
modeling



# Propiedades en las distintas escalas

## Molecular Mechanics

- Intermolecular forces
- Single molecule biopolymer mechanics
- Formation and dissolution of bonds
- Motion at the molecular/macromolecular level

## Celular Mechanics

- Structure/function/properties of the cell
- Biomembranes
- The cytoskeleton
- Cell adhesion and aggregation
- Cell migration

## Tissue Mechanics

- Molecular structure --> physical properties
- Continuum, elastic and inelastic models
  - \* Viscoelasticity - viscodamage
  - \* Poroelasticity
  - \* Electrochemical effects on tissue properties
- Coupled thermo/hydro/chemical/mechanical models

length scale

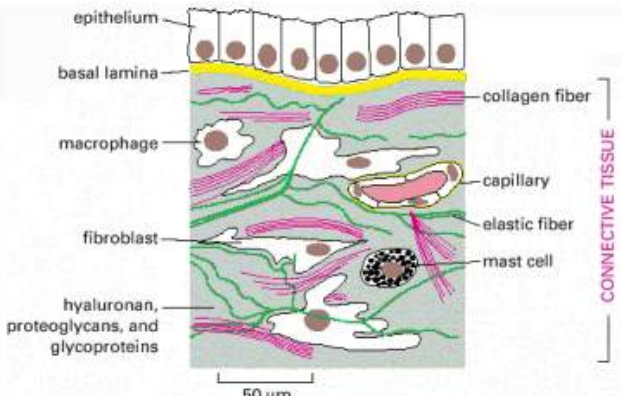




# Matriz extracelular del tejido blando (ECM)

## Definición

- Red compleja de polisacáridos (como **glicosaminoglicanos [GAGs]** o celulosa) y proteínas (como **colágeno**) segregadas por las células.
- Sirve como **elemento estructural** en los tejidos y también influye en su desarrollo y fisiología



# Matriz extracelular del tejido blando (ECM)

## Componentes

- La estructura de la ECM varía con el órgano al que pertenece;
- Las distintas ECM comprenden varios tipos de macromoléculas (principalmente colágeno, elastina, GAGs) y agua (65 %)

## Propiedades físicas de la ECM

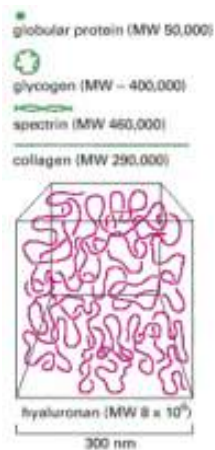
- Resistencia a **tracción** → Proteínas fibrosas formando **colágenos**
- Resistencia a **compresión** → formación de geles hidratados **GAGs** y **PGs** (Proteoglicanos)
- **Recuperación elástica** → polimerización de proteína de **elastina**

La variabilidad en la contribución relativa de los componentes refleja las necesidades del microambiente local y la función de los tejidos



# Matriz extracelular del tejido blando

## Glicosaminoglicanos (GAGs)



- Los GAGs tienden a adoptar configuraciones muy extendidas que ocupan un volumen enorme en relación con su masa
- Principalmente **Ácido Hialurónico**
- Su alta densidad de cargas negativas atrae a una nube de cationes ( $\text{Na}^+$ ), osmóticamente activos, aportando grandes cantidades de agua a la matriz.
- Esto crea una presión de hinchamiento que permite a la matriz resistir fuerzas de **compresión**, con respuesta **viscoelástica**
- Los GAGs a menudo forman uniones covalentes con los núcleos de las proteínas, formando **Proteoglicanos** (PGs).



# Matriz extracelular del tejido blando

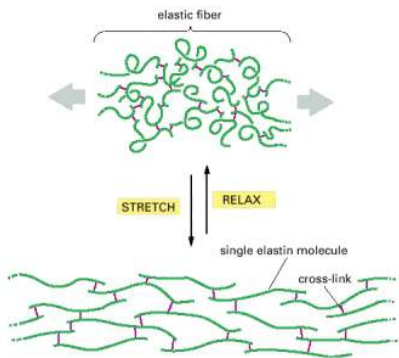
## Colágeno

- **Proteína** fibrosa rica en glicina y prolina que es un componente principal de la matriz extracelular y de los tejidos conectivos. Diversas formas: el tipo I, el más común, se encuentra en la piel, tendones y hueso; tipo II en cartílagos; tipo IV en láminas basales.
- Una molécula típica de colágeno es una **estructura helicoidal** rígida con tres cadenas de polipéptidos enroscados entre sí formando una superhélice con forma de cordón
- Estas moléculas de colágeno se ensamblan en polímeros de orden mayor denominados **fibrillas** de colágeno, estructuras muy delgadas (10–300 nm de diámetro) y largas (centenares de  $\mu\text{m}$  en tejidos maduros)



# Matriz extracelular del tejido blando

## Elastina

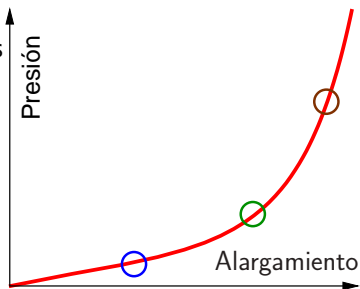


- Proporciona a los tejidos la **resiliencia** necesaria para **recuperar la forma** después de una extensión
- Las fibras de elastina son **muy extensibles**: al menos 5 veces más que una tira de goma de la misma sección transversal
- Se combinan con fibrillas inelásticas y largas de **colágeno, entrelazadas** con las fibras elásticas para limitar la magnitud de la extensión y prevenir el desgarro del tejido



# Composición y propiedades mecánicas

- Respuesta *geométrica no lineal*: grandes desplazamientos y deformaciones
- Respuesta *no lineal del material*: elastina + colágeno, reclutamiento y alineamiento progresivos
- *Incompresibilidad* (fase acuosa)
- *Anisotropía*, direcciones preferentes de fibras de colágeno
- Comportamiento *reológico (viscoelástico)* y “*pseudoelástico*”
- Adaptación a acciones externas. *Remodelación*: variación de características geométricas o mecánicas
- *Tensiones iniciales* en la configuración sin cargas
- Tono y actividad muscular



# Reclutamiento de las fibras de colágeno

## Curva tensión-deformación de tejido con colágeno

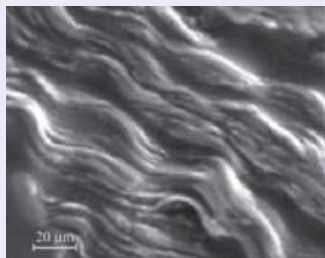
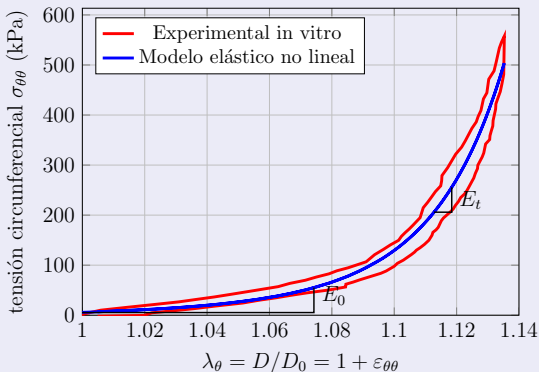


Imagen ESEM de adventicia humana, mostrando estructura ondulada y con alineaciones preferentes de fibras de colágeno

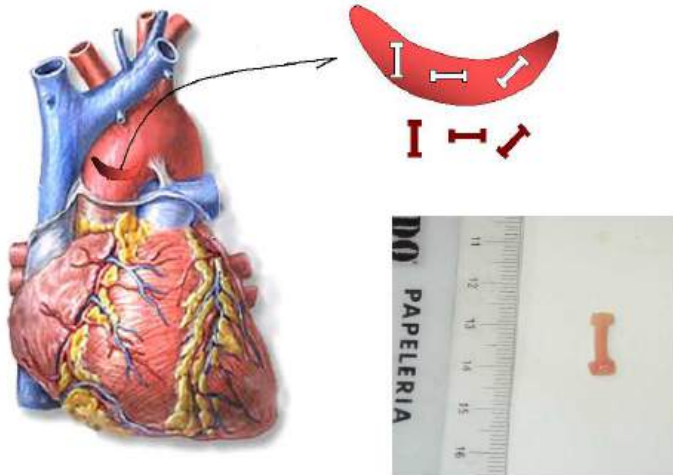
(FELMI, TU Graz 2009)

Carótida 29/10/2003;  $D_0 = 14.8$  mm;  $\lambda_z = 1.05$



Medida experimental y modelo teórico  
JG,CGH 2003

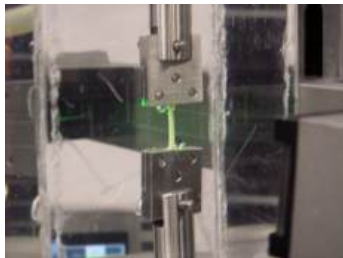
# Caracterización experimental – Tracción (1)



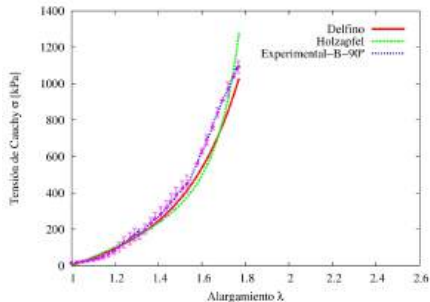
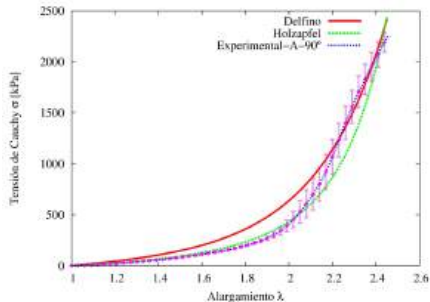
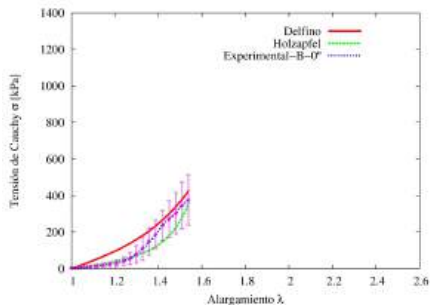
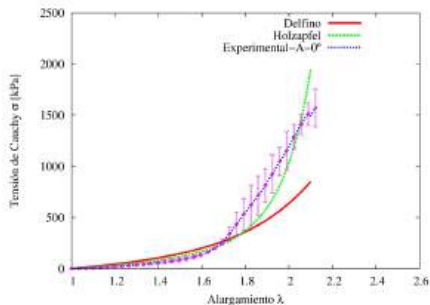
Distintos grupos: A) pacientes sanos/donantes; B) problemas valvulares; C) válvula bicúspide; D) aneurismáticos; E) Marfan



# Caracterización experimental – Tracción (2)



# Caracterización experimental – Tracción (3)

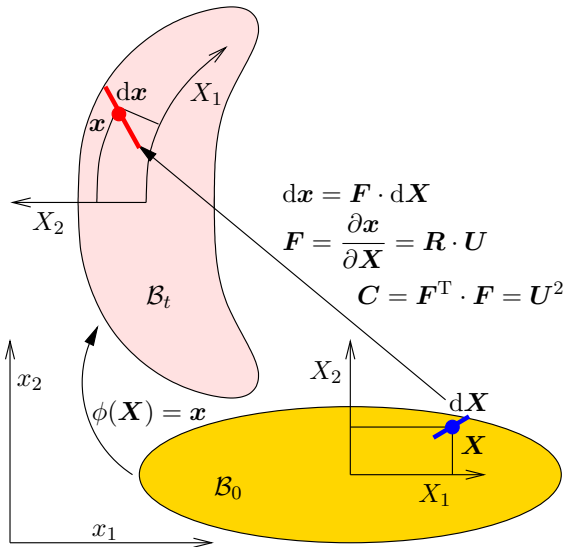


# Índice

- 1 **Introducción**
  - Ingeniería Biomédica y Biomecánica Computacional
- 2 **Tejidos blandos**
  - Composición y propiedades mecánicas
  - Modelos: Elasticidad no lineal
- 3 **Fluidos**
  - Modelos para CFD
  - Fenómenos básicos y aplicaciones
- 4 **Modelos numéricos – Elementos Finitos**
  - Concepto EF 1 gdl
  - Ecuaciones para elasticidad no lineal
  - Discretización – Galerkin
  - Resolución ecuaciones no lineales
  - SW (libre) para sólidos y fluidos
- 5 **Aplicaciones**
  - Ejemplos de aplicación: Aorta
  - Ejemplos de aplicación: Coronarias

# Grandes deformaciones y rotaciones

Medidas de deformación:  $F \rightarrow U, C$  (libres de rotación)



# Cinemática: grandes deformaciones y rotac. (I)

- Cinemática: **gradiente de deformación  $F$**

$$F = \frac{\partial \mathbf{x}}{\partial \mathbf{X}} = \nabla_{\mathbf{X}} \mathbf{x}; \quad F_{iJ} = \frac{\partial x_i}{\partial X_J} = x_{i,J}$$

- Se descompone como **alargamiento  $U$**  seguido de **rotación  $R$** :

$$F = R \cdot U$$

- Considerando  $R^T \cdot R = \mathbf{1}$ , se obtienen medidas de deformación que no dependen de las rotaciones:

Cauchy-Green derecha:  $C = F^T \cdot F = U^2;$

Green-Lagrange:  $E = \frac{1}{2}(C - \mathbf{1})$

- **Intrínsecas** para cuantificar la extensión de las fibras del material (no dependen de la rotación)
- **No lineales** en función de los desplazamientos  $u$



# Cinemática: grandes deformaciones y rotac. (II)

- Expresándolas en direcciones principales, en **función de los alargamientos principales**:

$$[U] = \begin{pmatrix} \lambda_1 & 0 & 0 \\ 0 & \lambda_2 & 0 \\ 0 & 0 & \lambda_3 \end{pmatrix}; [C] = \begin{pmatrix} \lambda_1^2 & 0 & 0 \\ 0 & \lambda_2^2 & 0 \\ 0 & 0 & \lambda_3^2 \end{pmatrix};$$
$$[E] = \frac{1}{2} \begin{pmatrix} \lambda_1^2 - 1 & 0 & 0 \\ 0 & \lambda_2^2 - 1 & 0 \\ 0 & 0 & \lambda_3^2 - 1 \end{pmatrix} \quad (4)$$

- Alternativamente, para los modelos isótropos, se pueden formular en **función de los invariantes de C**

$$I_1 = \lambda_1^2 + \lambda_2^2 + \lambda_3^2; \quad I_2 = \lambda_1^2 \lambda_2^2 + \lambda_2^2 \lambda_3^2 + \lambda_3^2 \lambda_1^2;$$
$$I_3 = \lambda_1^2 \lambda_2^2 \lambda_3^2 \quad (5)$$

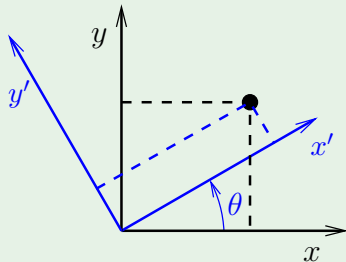
# Error Cometido con Pequeñas Deformaciones (I)

## Principio de Objetividad

La respuesta mecánica (tensión) debe ser independiente del observador; para ello la medida de la deformación en un simple cambio de referencia debe anularse: los movimientos de sólido rígido del sistema de referencia no deben producir tensiones..

**Ejemplo:** rotación rígida de sistema de referencia (2D):

$$\begin{Bmatrix} x' \\ y' \end{Bmatrix} = \underbrace{\begin{bmatrix} \cos \theta & \sin \theta \\ -\sin \theta & \cos \theta \end{bmatrix}}_{Q = Q^{-T}} \begin{Bmatrix} x \\ y \end{Bmatrix}$$



Cada partícula  $(x, y)$  pasa a las coordenadas  $(x', y')$  en el nuevo sistema.

Note: this is a *passive* rotation of reference frame, different to an *active* rotation of the body. For an active rotation the matrix would be the transpose  $Q^T$ , to be applied to the *material* coordinates

# Error cometido con pequeñas deformaciones (II)

## Consecuencias del principio de objetividad

Desplazamientos originados por el cambio de referencia:

$$\begin{Bmatrix} u_x \\ u_y \end{Bmatrix} = \begin{Bmatrix} x' \\ y' \end{Bmatrix} - \begin{Bmatrix} x \\ y \end{Bmatrix} = \begin{bmatrix} \cos \theta - 1 & \sin \theta \\ -\sin \theta & \cos \theta - 1 \end{bmatrix} \begin{Bmatrix} x \\ y \end{Bmatrix}$$

Derivando,  $\varepsilon_{ij} = \frac{1}{2}(u_{i,j} + u_{j,i})$  (tensor de deformaciones lineal):

$$[\varepsilon] = \begin{bmatrix} \cos \theta - 1 & 0 \\ 0 & \cos \theta - 1 \end{bmatrix} \approx \begin{bmatrix} -\theta^2/2 & 0 \\ 0 & -\theta^2/2 \end{bmatrix} \quad (6)$$

Rotaciones moderadas dan lugar a errores importantes. Supongamos:

- Deformaciones  $\varepsilon \approx 10^{-3}$ , típicas de materiales estructurales;
- Rotaciones  $\theta \approx 10^{-1}$  ( $5,7^\circ$ ), típicas de estructuras esbeltas;

**Error cometido: según (6), del orden  $\theta^2$ , es decir  $\approx 10^{-2}$  ( $10 \times \varepsilon$ ).**



- El **tensor de deformaciones de Green-Lagrange** se puede expresar también en función de los desplazamientos  $\mathbf{u} = \mathbf{x} - \mathbf{X}$ , a partir de su gradiente  $\nabla_{\mathbf{X}} \mathbf{u} = \partial \mathbf{u} / \partial \mathbf{X}$ :

$$\mathbf{E} = \frac{1}{2} (\nabla_{\mathbf{X}} \mathbf{u} + (\nabla_{\mathbf{X}} \mathbf{u})^{\top} + \underbrace{(\nabla_{\mathbf{X}} \mathbf{u})^{\top} \nabla_{\mathbf{X}} \mathbf{u}}_{\text{t. cuadráticos}})$$

- La expresión anterior, a diferencia del tensor de deformaciones lineal  $\epsilon$ , contiene **términos cuadráticos (no lineales)**



# Modelos de elasticidad no lineal – Hiperelasticidad

- Postulado fundamental de modelos hiperelásticos:  $\exists$  densidad de energía elástica por unidad de volumen, función de una medida objetiva (intrínseca) de la deformación:

$$W(\mathbf{C}) = \hat{W}(\mathbf{U}) = \tilde{W}(\mathbf{E}) \quad (7)$$

- El tensor de tensiones 2.º de Piola-Kirchhoff ( $\mathbf{S}$ , PK2) mide la tensión por unidad de superficie en la configuración inicial. La relación con el tensor de tensiones de Cauchy  $\boldsymbol{\sigma}$  es

$$\boldsymbol{\sigma} = J^{-1} \mathbf{F} \cdot \mathbf{S} \cdot \mathbf{F}^T \quad (8)$$

- Las tensiones PK2  $\mathbf{S}$  son conjugadas de las deformaciones de Green-Lagrange  $\mathbf{E}$ , y se pueden obtener derivando  $W$ :

$$\delta W = \mathbf{S} : \delta \mathbf{E} \quad \Leftrightarrow \quad \mathbf{S} = \frac{\partial \tilde{W}}{\partial \mathbf{E}} = 2 \frac{\partial W}{\partial \mathbf{C}} = \mathbf{f}(\mathbf{U}) \quad (9)$$



# Modelos de elasticidad no lineal – Hiperelasticidad

- Nos interesa la respuesta para la **tensión verdadera** (Cauchy), aplicando la transformación con la tensión PK2:

$$\begin{aligned}\boldsymbol{\sigma} &= J^{-1} \mathbf{F} \cdot \mathbf{S} \cdot \mathbf{F}^T \\ &= (\mathbf{R} \cdot \mathbf{U}) \cdot (J^{-1} \mathbf{S}) \cdot (\mathbf{U} \cdot \mathbf{R}^T) \\ &= \mathbf{R} \cdot \underbrace{[\det(\mathbf{U})^{-1} \mathbf{U} \cdot \mathbf{f}(\mathbf{U}) \cdot \mathbf{U}]}_{\hat{\boldsymbol{\sigma}} = \mathbf{g}(\mathbf{U})} \cdot \mathbf{R}^T\end{aligned}$$

- Es decir,  $\boldsymbol{\sigma}$  se puede expresar de forma objetiva (invariante respecto a rotaciones), de la forma

$$\boldsymbol{\sigma} = \mathbf{R} \cdot \hat{\boldsymbol{\sigma}} \cdot \mathbf{R}^T$$

donde  $\hat{\boldsymbol{\sigma}} = \mathbf{g}(\mathbf{U}) = \mathbf{g} \left( \begin{array}{ccc} \lambda_1 & 0 & 0 \\ 0 & \lambda_2 & 0 \\ 0 & 0 & \lambda_3 \end{array} \right)$  define la **respuesta intrínseca del material**, que debe después rotarse mediante  $\mathbf{R}$ .



- En función de los **alargamientos principales**:

$$S_i = \frac{1}{\lambda_i} \frac{\partial W}{\partial \lambda_i}; \quad \sigma_i = \frac{1}{J} \lambda_i \frac{\partial W}{\partial \lambda_i} \quad (i \text{ no sumado})$$

- Material **incompresible**:  $1 = J = \lambda_1 \lambda_2 \lambda_3$ , presión  $p$  indeterminada:

$$\sigma_i = \lambda_i \frac{\partial W}{\partial \lambda_i} - p$$

- Ensayo de **tensión uniaxial** (incompresible):

$$\sigma_2 = \sigma_3 = 0 = \lambda_2 \frac{\partial W}{\partial \lambda_2} - p \quad \Rightarrow \quad \sigma_1 = \lambda_1 \frac{\partial W}{\partial \lambda_1} - \frac{1}{\sqrt{\lambda_1}} \frac{\partial W}{\partial \lambda_2}$$



# Variables monitorizadas por defecto en FEBio

## Tensiones $\sigma$ (Cauchy)

X - stress  
Y - stress  
Z - stress  
XY - stress  
YZ - stress  
XZ - stress  
Effective stress  
1 Principal stress  
2 Principal stress  
3 Principal stress  
1 Dev Principal stress  
2 Dev Principal stress  
3 Dev Principal stress  
Max Shear stress

$\sigma_{ij}, \bar{\sigma} = \sigma_{\text{mis}}$

$(\sigma_1, \sigma_2, \sigma_3)$

$(s_1, s_2, s_3)$

$\tau_{\text{max}}$

## Deformaciones $E$ (Green-Lag.)

X - Lagrange strain  
Y - Lagrange strain  
Z - Lagrange strain  
XY - Lagrange strain  
YZ - Lagrange strain  
XZ - Lagrange strain  
Effective Lagrange strain  
1 Principal Lagrange strain  
2 Principal Lagrange strain  
3 Principal Lagrange strain  
1 Dev Principal Lagrange strain  
2 Dev Principal Lagrange strain  
3 Dev Principal Lagrange strain  
Max Shear Lagrange strain

$E_{IJ}, \bar{E}$

$(E_1, E_2, E_3)$

$(E'_1, E'_2, E'_3)$

$E_{\text{corte,max}}$

# Modelo de St Venant–Kirchhoff (compresible)

- Extensión de la elasticidad lineal isótropa a grandes deformaciones:

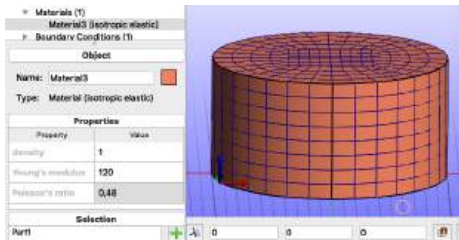
$$\boldsymbol{\sigma} = \lambda \operatorname{tr}(\boldsymbol{\varepsilon})\mathbf{1} + 2\mu\boldsymbol{\varepsilon} \quad \longrightarrow \quad \mathbf{S} = \Lambda \operatorname{tr}(\mathbf{E})\mathbf{1} + 2\mu\mathbf{E}$$

tan solo cambiando:  $\boldsymbol{\varepsilon} \rightarrow \mathbf{E}$ ,  $\boldsymbol{\sigma} \rightarrow \mathbf{S}$

- Corresponde a la función de densidad de energía

$$W = \frac{1}{2}\Lambda(\operatorname{tr}(\mathbf{E}))^2 + \mu \operatorname{tr}(\mathbf{E}^2)$$

FEBio: St. venant-Kirchhoff = **Isotropic Elastic**



A partir de  $E, \nu$ :

Young  $E = \mu \frac{2\mu + 3\Lambda}{\mu + \Lambda}$

Poisson  $\nu = \frac{1}{2} \frac{\Lambda}{\mu + \Lambda}$

# Modelo de St Venant–Kirchhoff (compresible)

- La expresión analítica para las tensiones (de Cauchy) se obtiene mediante (9) y (8):

$$\boldsymbol{\sigma} = J^{-1} \left[ \frac{\Lambda}{2} (I_1 - 3) \mathbf{b} + \mu \mathbf{b} (\mathbf{b} - \mathbf{1}) \right]$$

con  $\mathbf{b} = \mathbf{F} \cdot \mathbf{F}^T$  (Cauchy-Green izquierda)

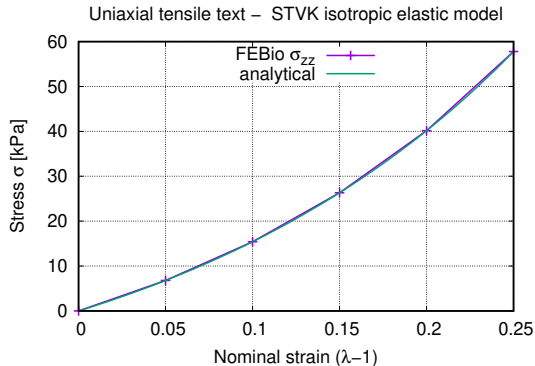
- Para el ensayo de tensión uniaxial homogénea resulta

$$\sigma_1 = J^{-1} \frac{\mu}{2} \frac{3\Lambda + 2\mu}{\Lambda + \mu} \lambda_1^2 (\lambda_1^2 - 1), \quad \text{con } J = \frac{(3\Lambda + 2\mu - \Lambda \lambda_1^2) \lambda_1}{2(\Lambda + \mu)}$$

- Es un modelo que sólo debe aplicarse para **deformaciones pequeñas o moderadas** (como huesos)



# Modelo de St Venant–Kirchhoff (compresible)



Ejemplo:

- para  $E = 120 \text{ kPa}$ ,  $\nu = 0,48$   
(incompresible:  
 $\nu = 0,50$ )
- Resulta **inestable** por encima de  $\lambda - 1 = \varepsilon = 0,7$





# Modelo Neohookeano incompresible

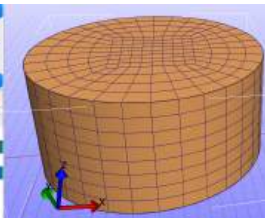
- Hipótesis de incompresibilidad:

$$1 = J = \det(\mathbf{F}) = \lambda_1 \lambda_2 \lambda_3$$

- **Observación:** numéricamente en EF la incompresibilidad se impone de forma aproximada (Modelos desacoplados cuasi-incompresibles, con  $K \gg \mu \rightarrow J \approx 1$ .)
- Función de densidad de energía:

$$W = \frac{\mu}{2}(I_1 - 3), \quad \text{siendo } I_1 = \text{tr } \mathbf{C} = \lambda_1^2 + \lambda_2^2 + \lambda_3^2$$

FEBio: Neohookeano = **Mooney-Rivlin** con  $c_2 = 0$



Siendo

Bulk

$$c_1 = \frac{\mu}{2}$$

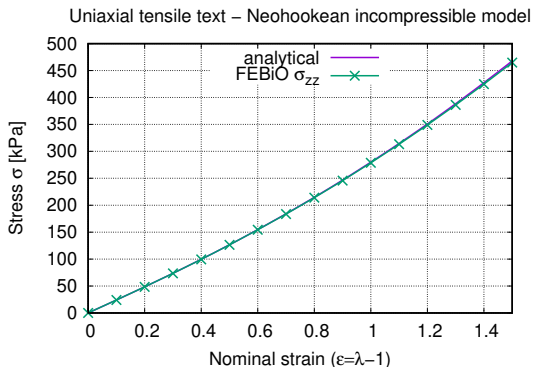
$$K \gg c_1$$



# Modelo Neo-hookeano incompresible

- Para el caso de tensión uniaxial, y teniendo en cuenta que por incompresibilidad  $J = \lambda_1 \lambda_2 \lambda_3 = \lambda_1 \lambda_2^2 \Rightarrow \lambda_2^2 = 1/\lambda_1$ ,

$$\sigma_1 = \lambda_1 \mu \lambda_1 - \lambda_2 \mu \lambda_2 \Rightarrow \sigma_1 = \mu \left( \lambda_1^2 - \frac{1}{\lambda_1} \right)$$



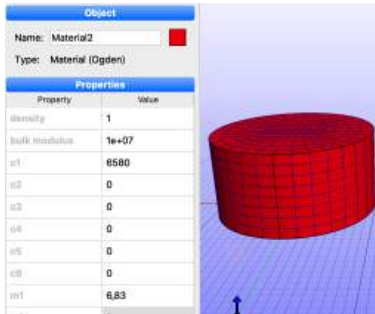
# Modelo de Ogden

- Función de densidad de energía

$$W = \sum_{i=1}^N \frac{C_i}{a_i} (\lambda_1^{a_i} + \lambda_2^{a_i} + \lambda_3^{a_i} - 3)$$

- Expresión de tensión–alargamiento uniaxial:

$$\sigma = \sum_{i=1}^N C_i (\lambda^{a_i} - \lambda^{-a_i/2}),$$



FEBio: uncoupled elastic – Ogden, con

$$N = 1$$

$$C_i = c_i/m_i$$

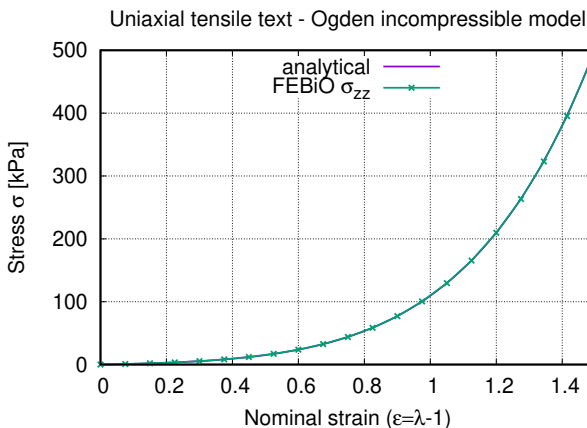
$$a_i = m_i$$

$$K \gg c_1$$

# Modelo de Ogden

Consideramos aquí por simplicidad un modelo con un único término ( $N = 1$ ). En este caso, la relación tensión–alargamiento será

$$\sigma = C_1(\lambda^{a_1} - \lambda^{-a_1/2}). \quad (10)$$



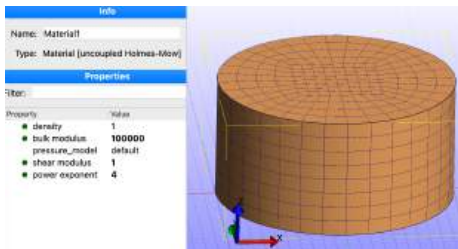
# Modelo de Demiray incompresible (1)

- Hipótesis de incompresibilidad:

$$1 = J = \det(\mathbf{F}) = \lambda_1 \lambda_2 \lambda_3$$

- **Observación:** numéricamente en EF la incompresibilidad se impone de forma aproximada (modelos desacoplados cuasi-incompresibles)
- Función de densidad de energía:

$$W = \frac{a}{b} \left[ e^{\frac{b}{2}(I_1 - 3)} - 1 \right], \quad \text{siendo } I_1 = \text{tr } \mathbf{C} = \lambda_1^2 + \lambda_2^2 + \lambda_3^2$$



FEBio: **uncoupled Holmes-Mow**, con

$$\mu = a \quad (\text{shear modulus})$$

$$\beta = b/2 \quad (\text{power exponent})$$

$$K \gg a \quad (\text{bulk modulus})$$



## Modelo de Demiray incompresible (2)

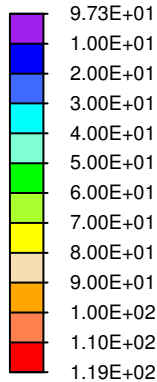
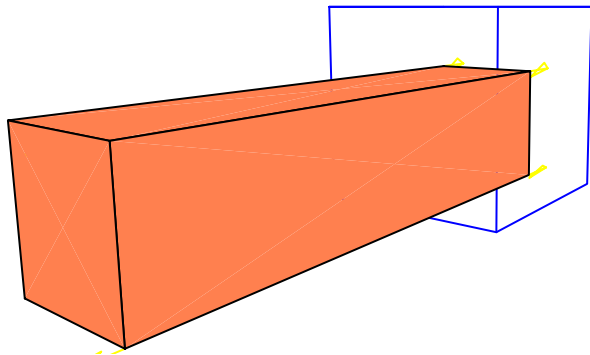
- Para el caso de tensión uniaxial, y teniendo en cuenta por incompresibilidad  $\lambda_2^2 = 1/\lambda_1$ , y por tanto  $I_1 = \lambda_1^2 + \frac{2}{\lambda_1}$ :

$$\sigma_1 = \lambda_1^2 a e^{\frac{b}{2}(I_1-3)} - \lambda_2^2 a e^{\frac{b}{2}(I_1-3)}$$

$$\Rightarrow \sigma_1 = a e^{\frac{b}{2}(I_1-3)} \left( \lambda_1^2 - \frac{1}{\lambda_1} \right), \quad \text{siendo } I_1 = \lambda_1^2 + \frac{2}{\lambda_1}$$

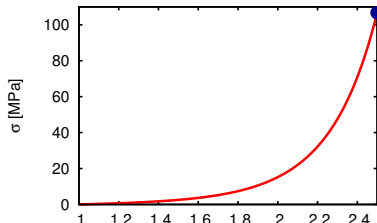


# Extensión Uniaxial Demiray

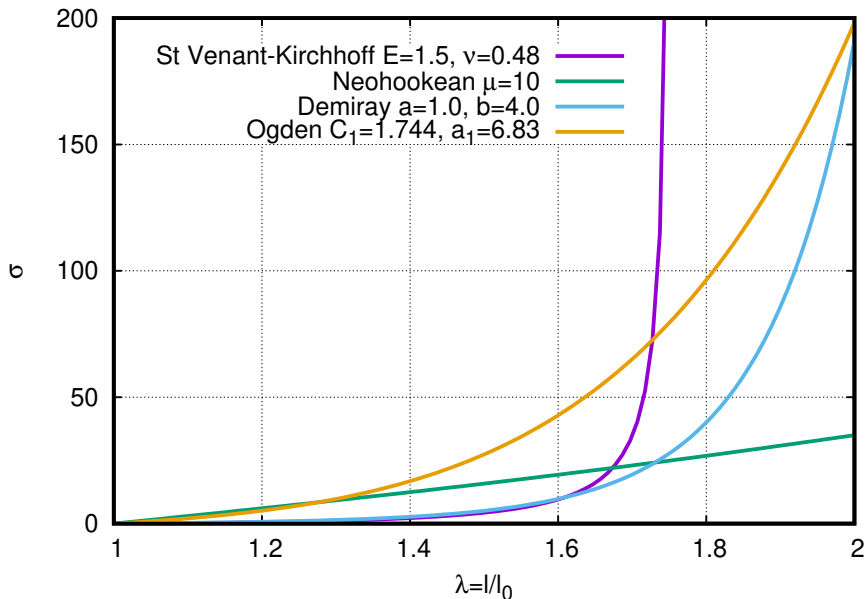


$$W = \frac{a}{b} \left[ e^{\frac{b}{2}(I_1-3)} - 1 \right]$$

siendo  $\begin{cases} a = 1071,9 \text{ kPa} \\ b = 1,4 \end{cases}$



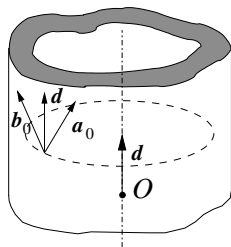
# Comparación de modelos hiperelásticos





# Modelos hiperelásticos anisótropos

- **Fibras de Colágeno** con direcciones preferentes. Definidas en la configuración de referencia por los vectores unitarios  $\mathbf{a}_0$  y  $\mathbf{b}_0$ , formando **ángulos  $\pm\alpha$**  con el eje de la arteria. La energía de deformación está expresada por  $W(\mathbf{C}, \mathbf{a}_0, \mathbf{b}_0)$ .



- **Pseudo-invariantes** (Spencer [CISM 1984]):  $W = W(\{I_a\})$ ,  $a = 1, \dots, 9$ ,

$$I_4 = \mathbf{a}_0 \cdot \mathbf{C} \cdot \mathbf{a}_0, \quad I_5 = \mathbf{a}_0 \cdot \mathbf{C}^2 \cdot \mathbf{a}_0, \quad I_6 = \mathbf{b}_0 \cdot \mathbf{C} \cdot \mathbf{b}_0,$$

- Para el tejido arterial (Holzapfel & Gasser [J. Elast. 2000]):

$$W = \underbrace{\frac{K}{2} \log^2 J}_{\text{volum.}} + \underbrace{\frac{c}{2} (\bar{I}_1 - 3)}_{\text{neo-hooke}} + \underbrace{\frac{k_1}{2k_2} \sum_{a=4,6} (\exp(k_2(\bar{I}_a - 1)^2) - 1)}_{\text{fibras}}$$



# Índice

- 1 Introducción**
  - Ingeniería Biomédica y Biomecánica Computacional
- 2 Tejidos blandos**
  - Composición y propiedades mecánicas
  - Modelos: Elasticidad no lineal
- 3 Fluidos**
  - Modelos para CFD
  - Fenómenos básicos y aplicaciones
- 4 Modelos numéricos – Elementos Finitos**
  - Concepto EF 1 gdl
  - Ecuaciones para elasticidad no lineal
  - Discretización – Galerkin
  - Resolución ecuaciones no lineales
  - SW (libre) para sólidos y fluidos
- 5 Aplicaciones**
  - Ejemplos de aplicación: Aorta
  - Ejemplos de aplicación: Coronarias

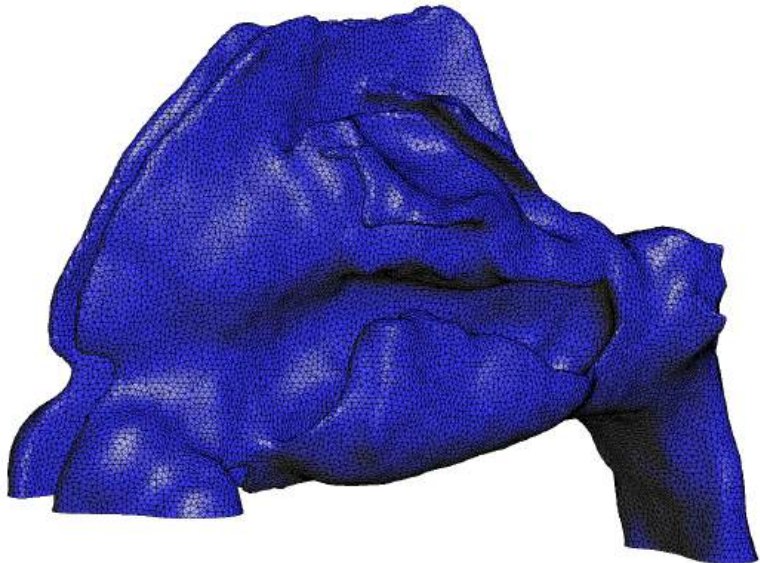
# Introducción

## Biomecánica de fluidos

- La **Biomecánica de fluidos** estudia el flujo de fluidos biológicos; para lo cual son muy útiles técnicas numéricas como la *Dinámica de Fluidos Computacional (CFD)*
- Uno de los campos más importantes es el flujo sanguíneo o **hemodinámica**.
- Otros problemas en biomecánica de fluidos:
  - 1 Flujo de aire en la **respiración** (pulmones, tráquea, etc.)
  - 2 Flujo **nefrológico**: difusión en los dializadores de urea, ...
  - 3 Flujo **peristáltico**: uretra, intestinal, estomacal, etc.
  - 4 Fluido **sinovial** de las articulaciones óseas.
  - 5 Válvulas del corazón: **interacción** fluido-tejido.



# Ejemplo CFD: Respiración en cavidad nasal



# CFD: Variables y ecuaciones

- Se supone que el fluido es un medio continuo, con la presión, densidad y velocidad como las **5 variables primarias**; se trata de campos función de espacio y tiempo,  $\forall \mathbf{x} \in \Omega$  y  $\forall t$ :

$$p = p(\mathbf{x}, t)$$

$$\rho = \rho(\mathbf{x}, t)$$

$$\mathbf{v} = \mathbf{v}(\mathbf{x}, t)$$

- En consecuencia, se necesitan **5 ecuaciones** independientes: **3** correspondientes al balance de cantidad de movimiento, **1** del balance de masa y **1** del balance de energía.
- Cuando la densidad es constante (independiente de la presión), el flujo se llama **incompresible**. Entonces quedan **4** ecuaciones independientes (no se considera el balance de energía), en función de las variables  $(\mathbf{v}, p)$ .



# Modelos para CFD – caso general

- Expresando la ecuación fundamental de la dinámica (**balance de la cantidad de movimiento**), y suponiendo despreciables las fuerzas de volumen  $\rho \mathbf{b}$ , resultan las **ecuaciones de Navier-Stokes** del flujo general (compresible y con viscosidad):

$$\rho \frac{d\mathbf{v}}{dt} = \rho \mathbf{v}_{,t} + \rho \mathbf{v} \cdot \nabla \mathbf{v} = -\nabla p + \mu \nabla^2 \mathbf{v} + \frac{\mu}{3} \nabla (\nabla \cdot \mathbf{v})$$
$$\rho \frac{dv_i}{dt} = \rho v_{i,t} + \rho v_{i,p} v_p = -p_{,i} + \mu v_{i,pp} + \frac{\mu}{3} v_{p,ip}$$

- En estas ecuaciones, los **campos incógnita** son  $\rho(\mathbf{x}, t)$ ,  $p(\mathbf{x}, t)$ ,  $\mathbf{v}(\mathbf{x}, t)$  (1+1+3=5 componentes)
- Adicionalmente deben considerarse las ecuaciones de **balance de masa** y **energía**, para un total de 5 ecuaciones escalares



# Modelos para CFD – casos particulares (1)

- **Flujo incompresible**: el volumen específico y la densidad son constantes; la condición cinemática que lo expresa es

$$\nabla \cdot \mathbf{v} = v_{p,p} = 0;$$

- se elimina por tanto el término  $\frac{\mu}{3} \nabla(\nabla \cdot \mathbf{v})$  y las ecuaciones de Navier-Stokes resultan

$$\begin{aligned} \rho \mathbf{v}_{,t} + \rho \mathbf{v} \cdot \nabla \mathbf{v} &= -\nabla p + \mu \nabla^2 \mathbf{v} \\ \rho v_{i,t} + \rho v_{i,p} v_p &= -p_{,i} + \mu v_{i,pp} \end{aligned}$$

- Importante: prácticamente **todos los casos de fluidos en biomecánica se pueden considerar incompresibles** (hemodinámica, respiración. . .)



# Planteamiento problema CFD – Resumen

## Ecuaciones de Navier-Stokes: Flujo incompresible

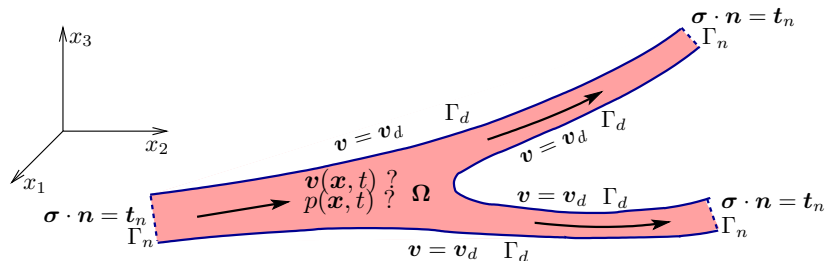
$$\rho \mathbf{v}_{,t} + \rho \mathbf{v} \cdot \nabla \mathbf{v} = -\nabla p + \mu \nabla^2 \mathbf{v} \quad \text{en } \Omega \times (0, T)$$

$$\nabla \cdot \mathbf{v} = 0 \quad \text{en } \Omega \times (0, T)$$

$$\mathbf{v} = \mathbf{v}_d(t) \quad \text{en } \Gamma_d \times (0, T)$$

$$\boldsymbol{\sigma} \cdot \mathbf{n} = \mathbf{t}_n(t) \quad \text{en } \Gamma_n \times (0, T)$$

$$\mathbf{v}(\mathbf{x}, 0) = \mathbf{v}_0(\mathbf{x}) \quad \text{en } \Omega, t = 0$$





# Índice

## 1 Introducción

- Ingeniería Biomédica y Biomecánica Computacional

## 2 Tejidos blandos

- Composición y propiedades mecánicas
- Modelos: Elasticidad no lineal

## 3 Fluidos

- Modelos para CFD
- Fenómenos básicos y aplicaciones

## 4 Modelos numéricos – Elementos Finitos

- Concepto EF 1 gdl
- Ecuaciones para elasticidad no lineal
- Discretización – Galerkin
- Resolución ecuaciones no lineales
- SW (libre) para sólidos y fluidos

## 5 Aplicaciones

- Ejemplos de aplicación: Aorta
- Ejemplos de aplicación: Coronarias

# Fenómenos básicos CFD – flujo de Poiseuille

- **Caudal** proporcional al gradiente de presión  $p, x = \frac{\partial p}{\partial x} \approx \frac{\Delta p}{L}$ :

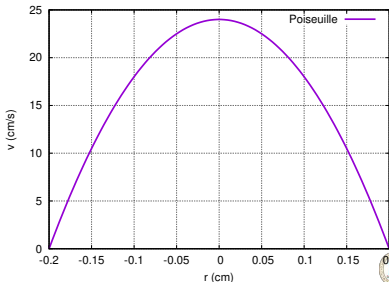
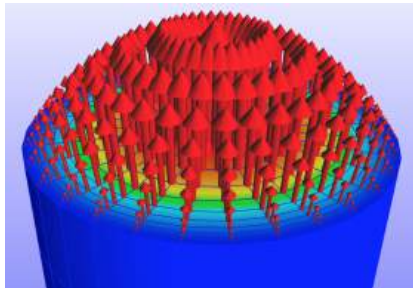
$$Q = \frac{\pi}{8\mu} \frac{\Delta p}{L} R^4$$

- La **resistencia** vascular es

$$\mathcal{R} = \frac{\Delta p}{Q} = \frac{8\mu L}{\pi R^4}$$

- El perfil de velocidades es **parabólico**:

$$v(r) = \frac{\Delta p}{4\mu L} (R^2 - r^2)$$

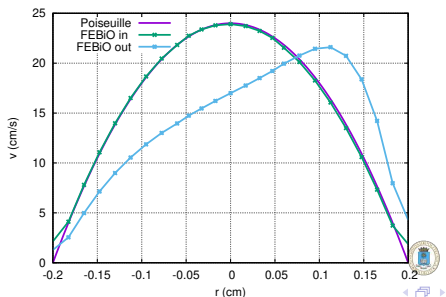
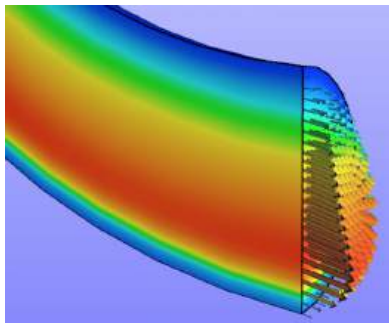


# Fenómenos básicos CFD – flujo de Poiseuille (2)

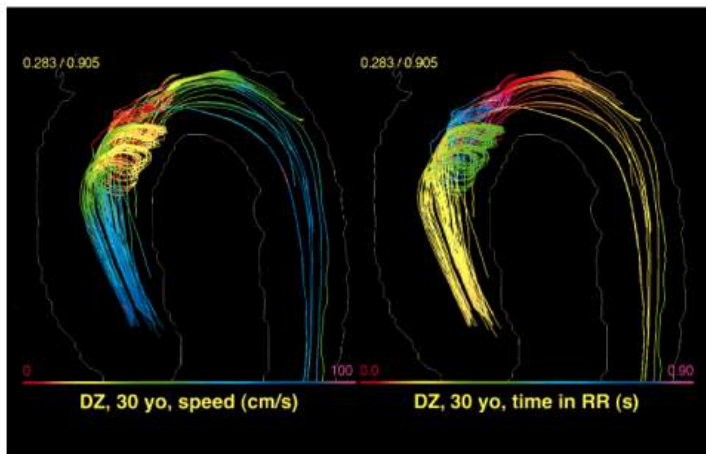
## Hipótesis del flujo de Poiseuille

- 1 La arteria es un tubo rígido
- 2 Sin curvatura y sección constante
- 3 Flujo estacionario
- 4 Flujo homogéneo con viscosidad constante
- 5 → Distribución parabólica

- Algunas hipótesis no se cumplen en las arterias reales: curvatura, flexibilidad, pulsatilidad, viscosidad no constante...

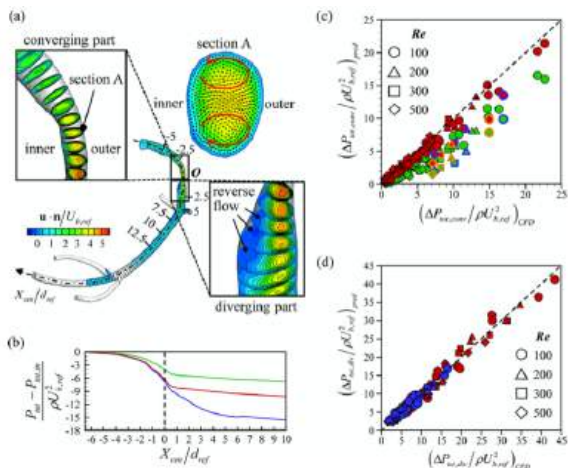


# Mapa por RM 3D de flujo sanguíneo en aorta



**Figure 2.** Sagittal oblique 4D reconstruction of the thoracic aortic blood flow displayed in 2D with velocities (left) and time of one heartbeat (right) of a 30-year-old normal male subject. Blood flowed from the proximal ascending aorta to the distal in early and mid-systole and then turned left and around clockwise in late systole and forward again in diastole. It took two beats to reach the distal descending aorta. Systolic velocities were 50-100 cm/sec, and diastolic were minimal to 10 cm/sec. Numbers in upper left corner: the aortic contour was drawn on an image taken 0.283 seconds after the R wave. R-R interval = 0.905 seconds.

# Aplicaciones CFD – Arteria Coronaria



**Fig. 4.** Flow fields by 3D numerical simulation and non-dimensional total pressure drops predicted by the 0D model. (a) Contours of the instantaneous streamwise velocity in the converging and diverging parts and the cross-flow velocity vectors at the cross-section A of P22. (b) Non-dimensional total pressures along the centerline of P22 predicted by the converging-part model (Eq. (3)) — red, series of segmented straight and curved pipes; — green, series of segmented straight pipes only; — blue, 3D numerical simulation. (c) Predicted non-dimensional total pressure drops versus those from 3D numerical simulation [CFD] in the converging parts of 33 stenoses: red symbols, series of segmented straight and curved pipes; green symbols, series of segmented straight pipes only (symbols outlined with blue and orange colors are the cases of P20 and P32, respectively). (d) Non-dimensional total pressure drops in the diverging part predicted by the diverging-part model (Eq. (5)) with IQR1: red, training set; blue, test set.

J. Kim et al, A zero-dimensional predictive model for the pressure drop in the stenotic coronary artery based on its geometric characteristics, J. Biomech 113, 2020.

# Aplicaciones CFD – Aneurisma Aorta Abdominal

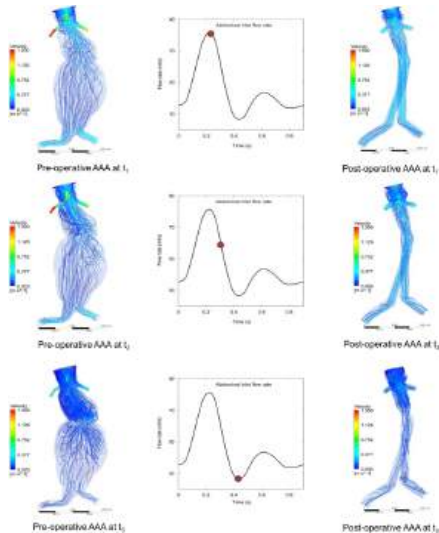


Fig. 4 Instantaneous velocity streamlines in pre- and post-operative AAA for patient 6, where  $t_1$ ,  $t_2$  and  $t_3$  are time levels at peak systole, maximum flow deceleration and terminal systole, respectively.

# Índice

## 1 Introducción

- Ingeniería Biomédica y Biomecánica Computacional

## 2 Tejidos blandos

- Composición y propiedades mecánicas
- Modelos: Elasticidad no lineal

## 3 Fluidos

- Modelos para CFD
- Fenómenos básicos y aplicaciones

## 4 Modelos numéricos – Elementos Finitos

- Concepto EF 1 gdl
- Ecuaciones para elasticidad no lineal
- Discretización – Galerkin
- Resolución ecuaciones no lineales
- SW (libre) para sólidos y fluidos

## 5 Aplicaciones

- Ejemplos de aplicación: Aorta
- Ejemplos de aplicación: Coronarias

# Concepto EF 1 gdl – Formulación

- Trabajo virtual por ud. de volumen de las fuerzas elásticas:

$$\delta \hat{W}^{\text{int}} = -\sigma \delta \varepsilon = -\sigma \frac{d\varepsilon}{dv} \delta v = -\sigma B \delta v$$

- Operador de interpolación de deformaciones  $B(v)$ :

$$B = \frac{d\varepsilon}{dv}$$

- Permite también expresar las fuerzas internas:

$$\delta W^{\text{int}} = - \left[ \int_{\mathcal{B}} B \sigma \, dV \right] \delta v \quad \Rightarrow \quad F^{\text{int}}(v) = \int_{\mathcal{B}} B(v) \sigma(v) \, dV$$

- Trabajo virtual de las fuerzas aplicadas:

$$\delta W^{\text{ext}} = P \delta v$$





# Concepto EF 1 gdl – Formulación

- Principio de los Trabajos Virtuales (PTV)

$$\delta W = \delta W^{\text{ext}} + \delta W^{\text{int}} = \delta v \left[ P - \int_{\mathcal{B}} B\sigma \, dV \right] = 0 \quad \forall \delta v$$

- Ecuación algebraica resultante

$$\Rightarrow \boxed{P = F^{\text{int}}(v) = \int_{\mathcal{B}} B\sigma \, dV}$$

- Ley constitutiva (elasticidad, grandes deformaciones):

$$\sigma = E\varepsilon_G$$

**Nota:**  $\varepsilon_G$  es una medida para **grandes deformaciones**, como la deformación de Green-Lagrange



# Concepto EF 1 gdl – Rigidez tangente

Ejemplo con 1 gdl ( $v$ ), no lineal:

$$\varepsilon_G = b_0 v + \frac{1}{2} b_1 v^2 \quad \Rightarrow \quad B = \frac{d\varepsilon_G}{dv} = b_0 + b_1 v = B_0 + B_L(v)$$

$$\begin{aligned} K_T &= \frac{dP}{dv} = \int_B \frac{d}{dv} (B\sigma) dV = \int_B BE \frac{d\varepsilon_G}{dv} dV + \int_B \frac{dB}{dv} \sigma dV \\ &= \underbrace{\int_B B_0 E B_0 dV}_{K_0} + \underbrace{\int_B 2B_0 E B_L dV + \int_B B_L E B_L dV}_{K_L(v)} + \underbrace{\int_B \frac{dB}{dv} \sigma dV}_{K_\sigma(\sigma)} \end{aligned}$$

## Componentes de la matriz de rigidez tangente $K_T$

- Rigidez constante,  $K_0$  (modelos lineales: la única)
- Rigidez por grandes deformaciones o respuesta no lineal  $K_L$
- Rigidez debida a las tensiones iniciales  $K_\sigma$

# Índice

## 1 Introducción

- Ingeniería Biomédica y Biomecánica Computacional

## 2 Tejidos blandos

- Composición y propiedades mecánicas
- Modelos: Elasticidad no lineal

## 3 Fluidos

- Modelos para CFD
- Fenómenos básicos y aplicaciones

## 4 Modelos numéricos – Elementos Finitos

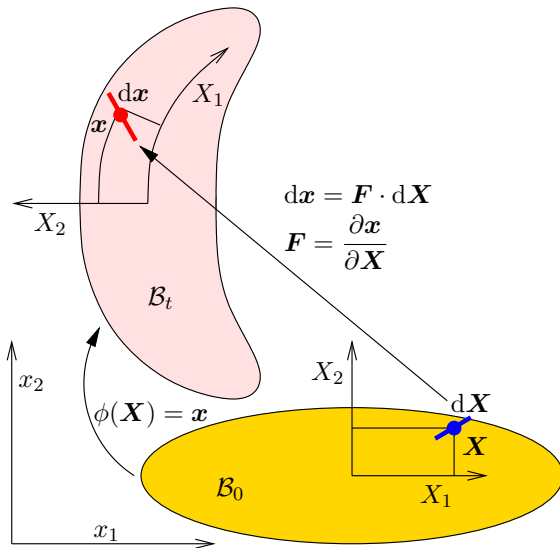
- Concepto EF 1 gdl
- Ecuaciones para elasticidad no lineal
- Discretización – Galerkin
- Resolución ecuaciones no lineales
- SW (libre) para sólidos y fluidos

## 5 Aplicaciones

- Ejemplos de aplicación: Aorta
- Ejemplos de aplicación: Coronarias

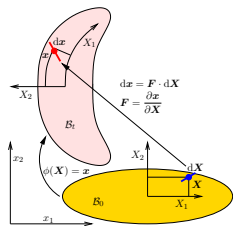
# Cinemática: grandes deformaciones y rotaciones

## Coordenadas Lagrangianas y Eulerianas



# Cinemática: medidas no lineales de la deformación

- Es necesario diferenciar entre la configuración de referencia inicial  $B_0$  y la configuración actual del cuerpo  $B_t$  (o simplemente  $B$ )
- Las medidas en la configuración inicial se denominan **Lagrangianas o materiales** y en la configuración actual **Eulerianas o espaciales**.
- El tensor de deformaciones lineal  $\epsilon = \frac{1}{2}(\nabla u + (\nabla u)^T)$  tiene la ventaja de que la **linealidad** respecto a los desplazamientos  $u$ , pero ...
- **no es válido para tejidos blandos**, ya que no es independiente (objetivo) respecto a las rotaciones rígidas e impide medir adecuadamente grandes deformaciones
- Las medidas de las deformaciones en tejidos blandos son **no lineales** respecto a los desplazamientos



# Descripción Lagrangiana actualizada: ecuaciones

## Formulación fuerte en 3D

### Ecuaciones en el dominio

- Comportamiento elástico (no lineal)

$$\boldsymbol{\sigma} = \mathfrak{h}(\mathbf{F}) = \mathbf{R} \cdot \mathfrak{g}(\mathbf{U}) \cdot \mathbf{R}^T$$

- Compatibilidad (deformaciones)

$$\mathbf{E} = \frac{1}{2} \left( \nabla_X \mathbf{u} + (\nabla_X \mathbf{u})^T + (\nabla_X \mathbf{u})^T \nabla_X \mathbf{u} \right)$$

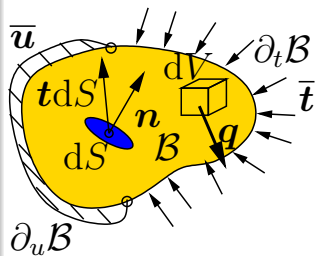
- Equilibrio (tensiones):

$$\nabla \cdot \boldsymbol{\sigma}^T + \mathbf{q} = \mathbf{0}; \quad \boldsymbol{\sigma} = \boldsymbol{\sigma}^T$$

$$\sigma_{pi,p} + q_i = 0; \quad \sigma_{ij} = \sigma_{ji}$$

### Condiciones de contorno

- en  $\partial_t \mathcal{B}$ :  $\boldsymbol{\sigma}^T \cdot \mathbf{n} = \bar{\mathbf{t}}$  (naturales)
- en  $\partial_u \mathcal{B}$ :  $\mathbf{u} = \bar{\mathbf{u}}$  (esenciales)



### Incógnitas

- Desplazamientos  
 $\mathbf{u}(x) : \mathcal{B} \rightarrow \mathbb{R}^3$

# PTV en descripción Lagrangiana actualizada (I)

- Se considera la ecuación de equilibrio (forma fuerte):

$$\nabla \cdot \boldsymbol{\sigma}^T + \mathbf{q} = \mathbf{0} \quad \forall \mathbf{x} \in \mathcal{B}$$

- Ponderando (producto escalar) por un campo arbitrario (compatible) de desplazamientos virtuales  $\boldsymbol{\eta}(\mathbf{x})$ , e integrando en la configuración actual  $\mathcal{B}$ :

$$\int_{\mathcal{B}} \boldsymbol{\eta} \cdot (\nabla \cdot \boldsymbol{\sigma}^T) dV + \int_{\mathcal{B}} \boldsymbol{\eta} \cdot \mathbf{q} dV = 0$$

- El integrando del primer término se puede transformar como

$$\boldsymbol{\eta} \cdot (\nabla \cdot \boldsymbol{\sigma}^T) = \nabla \cdot (\boldsymbol{\eta} \cdot \boldsymbol{\sigma}^T) - \boldsymbol{\sigma}^T : \nabla \boldsymbol{\eta}$$

$$\eta_q \sigma_{pq,p} = (\eta_q \sigma_{pq})_{,p} - \sigma_{pq} \eta_{q,p}$$

- Sustituyendo en la integral y aplicando el th. de la divergencia

$$\int_{\mathcal{B}} \boldsymbol{\eta} \cdot (\nabla \cdot \boldsymbol{\sigma}^T) dV = \int_{\partial \mathcal{B}} (\boldsymbol{\eta} \cdot \boldsymbol{\sigma}^T) \cdot \mathbf{n} dS - \int_{\mathcal{B}} \boldsymbol{\sigma}^T : \nabla \boldsymbol{\eta} dV$$



# PTV en descripción Lagrangiana actualizada (Ia)

En definitiva, la **expresión del Principio de los trabajos virtuales** se transforma como:

$$\underbrace{\int_{\mathcal{B}} \boldsymbol{\eta} \cdot (\nabla \cdot \boldsymbol{\sigma}^T) dV}_{(*)} + \int_{\mathcal{B}} \boldsymbol{\eta} \cdot \mathbf{q} dV = 0$$

⇓

$$\underbrace{\int_{\partial \mathcal{B}} (\boldsymbol{\eta} \cdot \boldsymbol{\sigma}^T) \cdot \mathbf{n} dS}_{\boldsymbol{\eta} \cdot \bar{\mathbf{t}}} - \int_{\mathcal{B}} \underbrace{\boldsymbol{\sigma}^T : \nabla \boldsymbol{\eta}}_{\boldsymbol{\sigma} : \boldsymbol{\varepsilon}^\eta} dV + \int_{\mathcal{B}} \boldsymbol{\eta} \cdot \mathbf{q} dV = 0$$





# PTV en descripción Lagrangiana actualizada (II)

- Considerando las condiciones de contorno ( $\boldsymbol{\eta} = \mathbf{0}$  en  $\partial_u \mathcal{B}$ ,  $\boldsymbol{\sigma}^T \cdot \mathbf{n} = \bar{\mathbf{t}}$  en  $\partial_t \mathcal{B}$ ), definiendo las “*deformaciones virtuales*”  $\boldsymbol{\varepsilon}^\eta \stackrel{\text{def}}{=} \frac{1}{2} [\nabla \boldsymbol{\eta} + (\nabla \boldsymbol{\eta})^T]$  y por la simetría de  $\boldsymbol{\sigma}$ , se obtiene

$$\underbrace{- \int_{\mathcal{B}} \boldsymbol{\sigma} : \boldsymbol{\varepsilon}^\eta \, dV}_{\delta W^{\text{int}}} + \underbrace{\int_{\partial_t \mathcal{B}} \boldsymbol{\eta} \cdot \bar{\mathbf{t}} \, dS + \int_{\mathcal{B}} \boldsymbol{\eta} \cdot \mathbf{q} \, dV}_{\delta W^{\text{ext}}} = 0 \quad \forall \boldsymbol{\eta}_{\text{comp}}$$

$\mathbf{u} = \bar{\mathbf{u}}$  en  $\partial_u \mathcal{B}$  (C.C. esenciales)

- Esta expresión se puede condensar como

$$\delta W^{\text{int}}(\boldsymbol{\eta}) + \delta W^{\text{ext}}(\boldsymbol{\eta}) = 0 \quad \forall \boldsymbol{\eta}_{\text{comp}}$$

- Como se ha visto, la forma fuerte implica la débil (PTV); la inversa se puede probar también, es decir **el PTV es condición necesaria y suficiente** para el equilibrio.



# Índice

## 1 Introducción

- Ingeniería Biomédica y Biomecánica Computacional

## 2 Tejidos blandos

- Composición y propiedades mecánicas
- Modelos: Elasticidad no lineal

## 3 Fluidos

- Modelos para CFD
- Fenómenos básicos y aplicaciones

## 4 Modelos numéricos – Elementos Finitos

- Concepto EF 1 gdl
- Ecuaciones para elasticidad no lineal
- Discretización – Galerkin
- Resolución ecuaciones no lineales
- SW (libre) para sólidos y fluidos

## 5 Aplicaciones

- Ejemplos de aplicación: Aorta
- Ejemplos de aplicación: Coronarias

# Discretización – Interpolación de desplazamientos

- Consideremos un elemento  $\mathcal{B}_{(e)} \subset \mathcal{B}$ , con nodos  $a = 1 \dots n$ . Las **funciones de forma** isoparamétricas interpolan la geometría y los desplazamientos. En una malla Lagrangiana se expresan en función de **coordenadas materiales  $\mathbf{X}$** :

$$\mathbf{X} = \sum_{a=1}^n N_a(\mathbf{X}) \mathbf{X}_a \quad \Rightarrow \quad \mathbf{x} = \sum_{a=1}^n N_a(\mathbf{X}) \mathbf{x}_a$$

- Considerando el campo de **desplazamientos**,  $\mathbf{u} = \mathbf{x} - \mathbf{X}$ ,

$$\mathbf{u}(\mathbf{X}) = \sum_{a=1}^n N_a(\mathbf{X}) \mathbf{u}_a \quad \Leftrightarrow \quad \boxed{\mathbf{u} = \mathbf{N} \cdot \mathbf{u}^{(e)}}$$

con  $\mathbf{N}$ : operador matricial,  $\mathbf{u}^{(e)}$ : vector desplaz. del elemento

- Galerkin**: igual interpolación para los desplazamientos virtuales

$$\boldsymbol{\eta} = \sum_{a=1}^n N_a(\mathbf{X}) \boldsymbol{\eta}_a \quad \Leftrightarrow \quad \boxed{\boldsymbol{\eta} = \mathbf{N} \cdot \boldsymbol{\eta}^{(e)}}$$



# Discretización – Galerkin (I)

- Con estos resultados podemos **discretizar el trabajo virtual de las tensiones**, en la configuración actual  $\mathcal{B}$ . Se calcula como suma sobre todos los nodos  $a = 1, \dots, n$ .

$$\delta W^{\text{int}} = - \int_{\mathcal{B}} \boldsymbol{\sigma} : \boldsymbol{\varepsilon}^{\eta} dV = - \int_{\mathcal{B}} \left( \sum_{a=1}^n \sigma_{pq} \frac{1}{2} (\eta_{ap} N_{a,q} + \eta_{aq} N_{a,p}) \right) dV$$

- Lo cual permite definir unos **operadores matriciales de interpolación de deformaciones**  $\mathbf{B}_a$ , que se obtienen a partir de los gradientes de las funciones de forma,

$$\boldsymbol{\varepsilon} = \mathbf{B}_a \cdot \mathbf{u}_a, \quad \boldsymbol{\varepsilon}^{\eta} = \boldsymbol{\eta}_a \cdot \mathbf{B}_a^{\text{T}}$$

- Los desplazamientos virtuales nodales  $\boldsymbol{\eta}_a$  se pueden sacar de la integral, resultando para cada elemento  $e$ :

$$\delta W_{(e)}^{\text{int}} = - \sum_{a=1}^n \left( \boldsymbol{\eta}_a \cdot \int_{\mathcal{B}_{(e)}} \mathbf{B}_a^{\text{T}} \cdot \boldsymbol{\sigma}^{(e)} dV \right)$$



# Discretización – Galerkin (II)

- Para entender mejor la expresión, si se restringe el cálculo a un nodo determinado  $a$  dentro del elemento  $(e)$ ,

$$\delta W_{(e)a}^{\text{int}} = -\eta_a \cdot \int_{\mathcal{B}(e)} \mathbf{B}_a^T \cdot \boldsymbol{\sigma}^{(e)} dV = -\eta_a \cdot \mathbf{f}_a^{\text{int}}(\mathbf{u}^{(e)})$$

- lo que permite definir unos vectores de **fuerzas internas** para cada nodo,

$$\mathbf{f}_a^{\text{int}}(\mathbf{u}^{(e)}) = \int_{\mathcal{B}(e)} \mathbf{B}_a^T \cdot \boldsymbol{\sigma}^{(e)} dV$$

- En la expresión anterior, la relación  $\mathbf{u}^{(e)} \rightarrow \boldsymbol{\sigma}(\mathbf{u}^{(e)})$  entre desplazamientos y tensiones será en general **no lineal**, debido a las **grandes deformaciones y a la respuesta no lineal del material**



## Discretización – Galerkin (III)

- Ensamblando, dan lugar al vector de fuerzas internas  $\mathbf{F}^{\text{int}}(\mathbf{u})$ , función de los gdl globales  $\mathbf{u}$ , con  $N_{\text{dim}} \times n = N$  grados de libertad.

$$\mathbf{F}_a^{\text{int}}(\mathbf{u}) = \mathbf{A}_{e=1}^{N_{\text{ele}}} [\mathbf{f}_a^{\text{int}}(\mathbf{u}^{(e)})] \quad (11)$$

- Análogamente, se ensamblan las fuerzas externas:

$$\mathbf{F}_a^{\text{ext}} = \mathbf{A}_{e=1}^{N_{\text{ele}}} [\mathbf{f}_a^{\text{ext}}] \quad (12)$$

- Considerando lo anterior, la expresión discretizada para el PTV es

$$\delta W = \delta W^{\text{int}} + \delta W^{\text{ext}} = \boldsymbol{\eta}_a \cdot (-\mathbf{F}_a^{\text{int}} + \mathbf{F}_a^{\text{ext}}) = 0 \quad \forall \boldsymbol{\eta}_a$$

- Al ser arbitrarios los valores  $\boldsymbol{\eta}_a$ , conduce al siguiente **sistema no lineal de ecuaciones algebraicas**

$$\mathbf{F}_a^{\text{int}}(\mathbf{u}, \mathbf{q}) = \mathbf{F}_a^{\text{ext}}, \quad a = 1 \dots n.$$



# Discretización – Galerkin (IV)

## Caso no lineal o lineal

- En el caso general (grandes deformaciones, material no lineal...), las relaciones  $\mathbf{F}_a^{\text{int}}(\mathbf{u}, \mathbf{q})$  son **no lineales** y dan lugar a **un sistema de ecuaciones algebraicas no lineales**

$$\mathbf{F}_a^{\text{int}}(\mathbf{u}, \mathbf{q}) = \mathbf{F}_a^{\text{ext}}, \quad a = 1 \dots n.$$

- En sistemas con elasticidad lineal, pequeños desplazamientos y deformaciones la dependencia de  $\mathbf{F}_a^{\text{int}}(\mathbf{u})$  es **lineal**, y el sistema resultante es un **sistema de ecuaciones algebraicas lineales**:

$$\mathbf{F}_a^{\text{int}}(\mathbf{u}) = \mathbf{K}_{ab} \cdot \mathbf{u}_b; \quad \mathbf{K}_{ab} \cdot \mathbf{u}_b = \mathbf{F}_a^{\text{ext}}.$$



# Discretización – Galerkin (V)

- En el desarrollo anterior por simplicidad se ha considerado que las cargas externas (distribuidas como  $\mathbf{q}_0$  o de superficie  $\overline{\mathbf{T}}$ ) son constantes, es decir no dependen de la configuración ni del movimiento del cuerpo. Por tanto el término del lado derecho  $\mathbf{F}_a^{\text{ext}}$  es **constante**, representando una carga conservativa.
- Por el contrario. el término de la izquierda  $\mathbf{F}_a^{\text{int}}(\mathbf{u}, \mathbf{q})$  sí depende de la configuración del cuerpo, lo que puede ser representado para el problema discreto mediante los desplazamientos nodales  $\mathbf{u} = \{\mathbf{u}_b, b = 1, \dots, n\}$ , así como posiblemente otras variables internas  $\mathbf{q}$ . Esta **dependencia de  $(\mathbf{u}, \mathbf{q})$  es no lineal** en un caso general.
- También puede darse el caso de **cargas externas no conservativas**  $\mathbf{F}_a^{\text{ext}}(\mathbf{u})$  o fuerzas seguidoras.





# Ecuaciones discretas no lineales (I)

- El sistema global de ecuaciones es entonces

$$\mathbf{F}^{\text{int}}(\mathbf{u}) = \mathbf{F}^{\text{ext}} \quad \Leftrightarrow \quad \mathbf{R}(\mathbf{u}) = \mathbf{F}^{\text{int}}(\mathbf{u}) - \mathbf{F}^{\text{ext}} = \mathbf{0} \quad (13)$$

donde  $\mathbf{R}(\mathbf{u})$  se denomina **residuo**, que debería anularse para la solución buscada (o ser suficientemente pequeño).

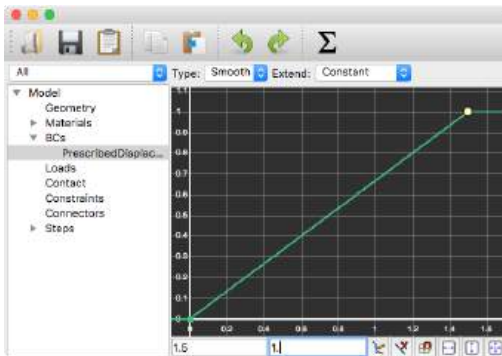
- En la práctica, para evitar no linealidades demasiado severas y también permitir una adecuada monitorización del camino de la solución, **las cargas se aplican gradualmente** a través de un parámetro escalar  $\lambda$ :

$$\mathbf{R}(\mathbf{u}, \lambda) = \mathbf{F}^{\text{int}}(\mathbf{u}) - \lambda \mathbf{F}^{\text{ext}} = \mathbf{0} \quad (14)$$



# Ecuaciones discretas no lineales (II)

- El parámetro  $\lambda$  puede interpretarse como un **pseudo-tiempo** y sirve para realizar un cálculo cuasi-estático. Normalmente  $\lambda$  varía entre 0 y 1 (100% de la carga en  $\lambda = 1$ ), aunque puede modificarse a conveniencia.
- En **FEBio** se establece así por defecto aunque puede ajustarse mediante la definición de curvas que definan una **aplicación gradual** para cada acción.



# Resumen del Método de Elementos Finitos

## Ingredientes del MEF

### 1 Formulación fuerte

- Ecuaciones diferenciales (EDP)  $\forall \mathbf{X} \in \mathcal{B} \rightarrow \infty$  gdl
- Condiciones de Contorno (C.C.) Naturales y Esenciales

### 2 Formulación débil (PTV)

- Ponderación por campo virtual arbitrario  $\eta$  (despl. virtuales)
- Integrales extendidas a  $\int_{\mathcal{B}}$  + Integración por partes
- C.C. esenciales

### 3 Aproximación

- Discretización: elementos  $\mathcal{B}_{(e)} \subset \mathcal{B}$ , nodos  $a \rightarrow N$  gdl
- Funciones de forma:  $N_a(\mathbf{X}) \rightarrow \mathbf{u} = \mathbf{N} \cdot \mathbf{u}^{(e)}$ ,  $\boldsymbol{\varepsilon} = \mathbf{B} \cdot \mathbf{u}^{(e)}$
- Integración por elementos:  $\mathbf{f}_a^{\text{int}}(\mathbf{u}_{(e)}) = \int_{\mathcal{B}_{(e)}} \mathbf{B}_a^T \cdot \boldsymbol{\sigma}_{(e)} dV$

### 4 Formulación matricial

- Ensamblaje de matrices elemento  $\rightarrow$  global; Ecs. de equilibrio
- Resolución de Ecuaciones Algebraicas no lineales

# Índice

- 1 **Introducción**
  - Ingeniería Biomédica y Biomecánica Computacional
- 2 **Tejidos blandos**
  - Composición y propiedades mecánicas
  - Modelos: Elasticidad no lineal
- 3 **Fluidos**
  - Modelos para CFD
  - Fenómenos básicos y aplicaciones
- 4 **Modelos numéricos – Elementos Finitos**
  - Concepto EF 1 gdl
  - Ecuaciones para elasticidad no lineal
  - Discretización – Galerkin
  - Resolución ecuaciones no lineales
  - SW (libre) para sólidos y fluidos
- 5 **Aplicaciones**
  - Ejemplos de aplicación: Aorta
  - Ejemplos de aplicación: Coronarias

# Resolución no lineal – Procedimientos

- Para la resolución de las ecuaciones algebraicas no lineales que resultan de los EF se requieren **métodos iterativos**, no se puede realizar en un paso único.
- Algunos de los más comunes son:
  - Métodos de punto fijo
  - Métodos de **linealización o de Newton** (también llamado *Newton-Raphson*)
  - Métodos **Cuasi-Newton** (Broyden, BFGS, . . .)
  - Métodos de relajación dinámica
- Normalmente es necesario hacer dos niveles de incrementos / iteraciones
  - 1 **aplicar de forma incremental la carga** o acción exterior, no de forma completa en un paso
  - 2 **resolver iterativamente** para cada incremento de carga
- Comúnmente se requieren múltiples soluciones de sistemas de ecuaciones algebraicas lineales mediante “**solvers**” (Jacobi, Gauss-Seidel, Gradiente conjugado. . .).



# Resolución no lineal (1)

- En un caso no lineal general el método más robusto la solución iterativa por **linealización** o método de **Newton**.
- Realizando la derivada direccional de  $\mathbf{R}(\mathbf{u}, \lambda)$ , se obtiene la **matriz de rigidez tangente**  $\mathbf{K}_T$ :

$$D\mathbf{R}(\mathbf{u}_k, \bar{\lambda})[\Delta\mathbf{u}] = \mathbf{K}_T(\mathbf{u}_k, \bar{\lambda}) \cdot \Delta\mathbf{u} \quad (15)$$

donde la tangente se evalúa en el nivel de cargas  $\lambda = \bar{\lambda}$ , y un valor dado  $\mathbf{u}_k$  en la iteración  $k$  del proceso.

- El proceso iterativo de Newton supone que se parte de un punto adecuado  $\mathbf{u}_k$  en el cual el residuo no es nulo ( $\mathbf{R}(\mathbf{u}_k) \neq \mathbf{0}$ ) pero está suficientemente cercano a la solución. **Se aproxima la curva por su tangente** (en el espacio  $2N$ -dimensional):

$$\mathbf{R}(\mathbf{u}_k) + \mathbf{K}_T \Delta\mathbf{u}_{k+1} = \mathbf{0} \quad (16)$$

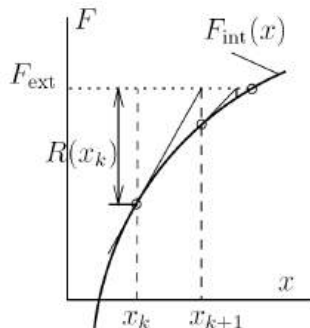
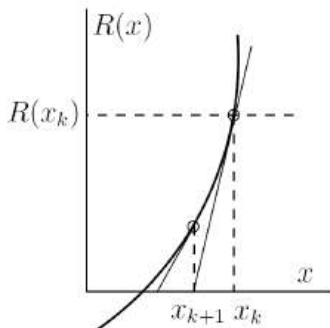


## Resolución no lineal (2)

- Resolviendo para  $\Delta \mathbf{u}_{k+1}$  el sistema de ecuaciones lineales, conduce al siguiente valor iterativo

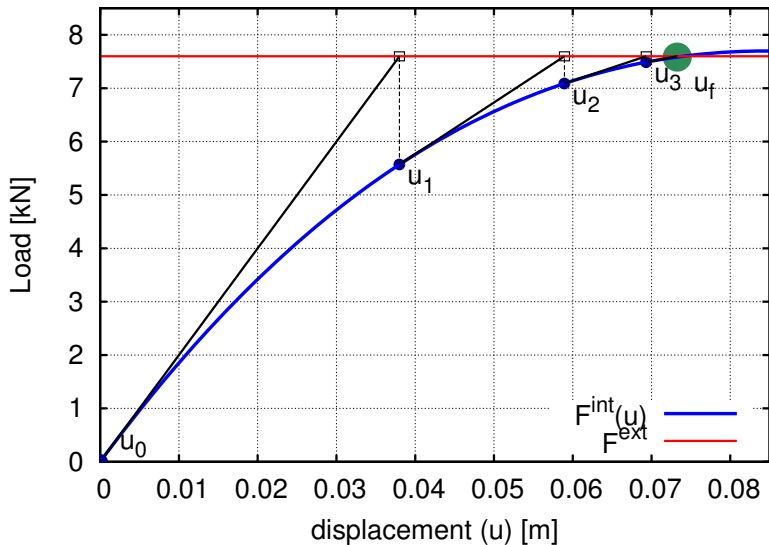
$$\Delta \mathbf{u}_{k+1} = -\mathbf{K}_T^{-1} \mathbf{R}(\mathbf{u}_k) \Rightarrow \mathbf{u}_{k+1} = \mathbf{u}_k + \Delta \mathbf{u}_{k+1} \quad (17)$$

- Abajo se muestra una **interpretación geométrica** del proceso para un caso con un grado de libertad (denominado aquí  $x$ )



# Método de Newton – secuencia 1 gdl

$$\text{Ecuación no lineal: } R(u) = F^{\text{int}}(u) - F^{\text{ext}} = 0$$





# Resolución no lineal (4) – Convergencia

- Las iteraciones se detienen cuando el **residuo es suficientemente pequeño**.
- Esto se define requiriendo que una norma adecuada del residuo  $\mathbf{R}(\mathbf{u}_{k+1}, \bar{\lambda})$  está por debajo de una **tolerancia** prefijada de la solución

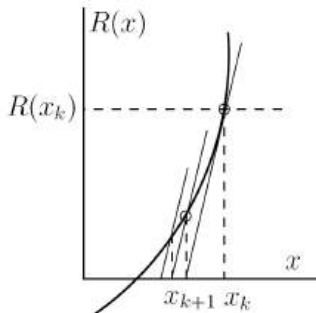
$$\|\mathbf{R}(\mathbf{u}_{k+1}, \bar{\lambda})\| \leq \epsilon R_0$$

- Se puede demostrar que el método de Newton tiene **convergencia cuadrática** (es decir, el residuo se reduce como la raíz cuadrada para cada iteración)



# Newton modificado

- El método de Newton requiere la evaluación de la tangente  $\mathbf{K}_T(\mathbf{u})$  en cada iteración. En ocasiones puede ser preferible no recalcular la tangente, o como mucho recalcularla cada  $n > 1$  iteraciones, esto es el denominado **método de Newton modificado**



- La **convergencia es lineal**, más lenta que para Newton



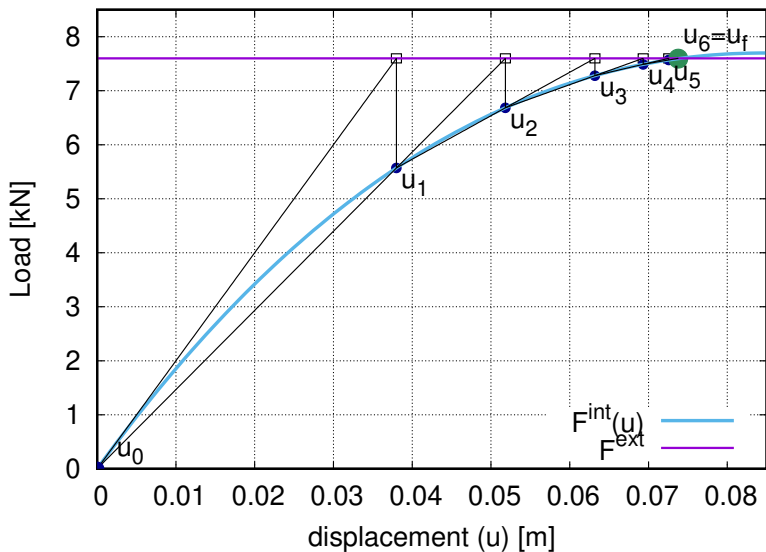
# Cuasi-Newton

- Una alternativa a menudo óptima son los métodos **Cuasi-Newton**, que pueden interpretarse geoméricamente como la linealización a partir de la secante, en lugar de la tangente.
- El método Cuasi-Newton más ventajoso con carácter general es el **BFGS** (*Broyden, Fletcher, Goldfarb, Shanno*).
- Se basa en actualizar, para cada iteración, la **matriz de rigidez inversa**, obteniendo así una aproximación a la matriz exacta.
- El algoritmo se basa en calcular una secuencia de vectores, para cada iteración. Resulta muy ventajoso para problemas con muchos gdl. es el que se emplea **en FEBiO por defecto**.
- La convergencia del BFGS es **superlineal** (más que lineal pero menos que cuadrática).



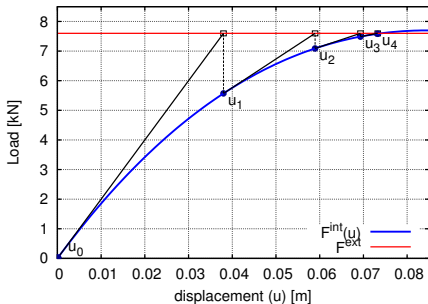
# Problemas no lineales (1 gdl) – Cuasi-Newton

$$\text{Ecuación no lineal: } R(u) = F^{\text{int}}(u) - F^{\text{ext}} = 0$$



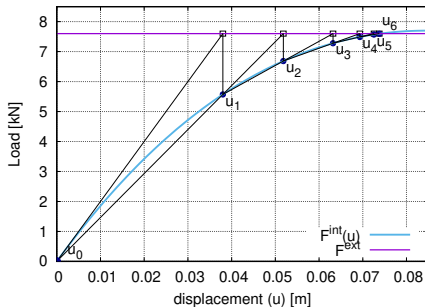
# Comparación Newton / Cuasi-Newton

## Newton



Convergencia en 4 iteraciones

## Cuasi-Newton

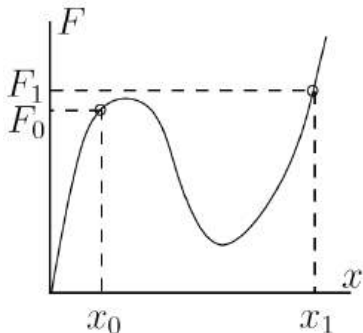


Convergencia en 6 iteraciones



# Control de desplazamientos / Continuación

- *Motivación*: problemas con inestabilidades de la carga (p.ej. **snap-through**)
- Para  $F_1$  se obtiene una inestabilidad, que puede ser resuelta por control de desplazamientos



$$\begin{pmatrix} \mathbf{K}_{ff} & \mathbf{K}_{fp} \\ \mathbf{K}_{fp} & \mathbf{K}_{pp} \end{pmatrix} \begin{Bmatrix} \Delta \mathbf{u}_f \\ \Delta \mathbf{u}_p \end{Bmatrix} = - \begin{Bmatrix} \mathbf{R}_f \\ \mathbf{R}_p \end{Bmatrix}$$

- $\mathbf{u}_f$  son desplazamientos **libres**
- $\mathbf{u}_p$  son desplazamientos **prescritos**

- Considerando que  $\Delta \mathbf{u}_p$  son conocidos,

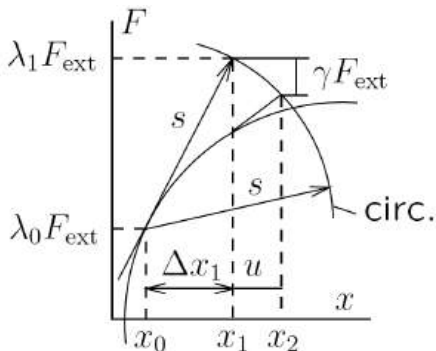
$$\mathbf{K}_{ff} \Delta \mathbf{u}_f = -(\mathbf{R}_f + \mathbf{K}_{fp} \Delta \mathbf{u}_p); \quad \mathbf{u}_{k+1} = \mathbf{u}_k + \Delta \mathbf{u}_f$$



# Resolución ecuaciones no lineales

- Motivación:** para caminos de carga altamente inestables, controlar el incremento de carga definiendo la longitud de arco según la curva del camino de equilibrio. este incremento es una nueva incógnita que debe satisfacer una cierta restricción,

$$\mathbf{R}(\mathbf{u}, \lambda) = \mathbf{F}^{\text{int}} - \lambda \mathbf{F}^{\text{ext}} = \mathbf{0} \quad (18)$$



Desarrollamos el denominado **método esférico**

$$\Delta \mathbf{F}^{\text{ext}} = \Delta \lambda \cdot \mathbf{F}^{\text{ext}}$$

$$\Delta \mathbf{x}_k = \mathbf{x}_k - \mathbf{x}_{k-1}$$



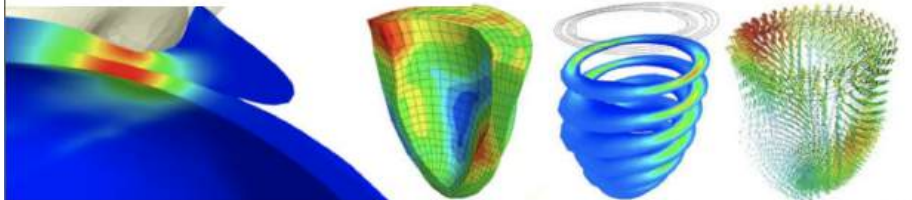
# Índice

- 1 **Introducción**
  - Ingeniería Biomédica y Biomecánica Computacional
- 2 **Tejidos blandos**
  - Composición y propiedades mecánicas
  - Modelos: Elasticidad no lineal
- 3 **Fluidos**
  - Modelos para CFD
  - Fenómenos básicos y aplicaciones
- 4 **Modelos numéricos – Elementos Finitos**
  - Concepto EF 1 gdl
  - Ecuaciones para elasticidad no lineal
  - Discretización – Galerkin
  - Resolución ecuaciones no lineales
  - SW (libre) para sólidos y fluidos
- 5 **Aplicaciones**
  - Ejemplos de aplicación: Aorta
  - Ejemplos de aplicación: Coronarias





Go to...



**FEBio  
Software**

Follow

121 1,214

The FEBio software is designed for multiphysics finite element simulations in

## Overview

FEBio is a software tool for nonlinear finite element analysis in biomechanics and biophysics and is specifically focused on solving nonlinear large deformation problems in biomechanics and biophysics. Aside from structural mechanics, it can also solve problems in mixture mechanics (i.e. biphasic or multiphase materials), fluid mechanics, reaction-diffusion, and heat transfer. As a true multiphysics code, it can also solve coupled physics problems, including fluid-solid interactions.

<https://febio.org/>



# FEBio: definición modelo

The screenshot displays the FEBio software interface for defining a finite element model. The central 3D view shows a cylindrical mesh structure, likely representing a biological component, with a coordinate system (X, Y, Z) visible at the bottom left. The mesh is colored orange and blue, indicating different material or element types.

The left sidebar shows the model hierarchy, including:

- Model
- Model Data
  - Geometry (1)
  - Named Selections
  - Mesh Data
  - Materials (1)
  - Boundary Conditions (1)
- Fixed(Displacement) Fixed D.L.
- Loads
- Initial Conditions
- Contact
- Constraints
- Rigid Constraints
- Rigid Connectors

The right sidebar shows the mesh parameters for the selected object:

- Object: Object1
- Type: Primitive (Convert)
- Mesh Parameters:
  - Ratio: 0.5
  - Slices: 4
  - Segments: 4
  - Stacks: 8
  - Z-bias: 1
  - R-bias: 1
  - Mesh Type: Butterfly comb
  - Z-removed bias:
  - R-removed bias:
- Build Mesh:
  - Refine Mesh:
  - Coarsen:
  - Filter:
  - Set Fibers:
  - Set Area from Curvature:
  - Tri Remesh:

The bottom status bar shows the current view (3D) and a log window with the following text:

```
Part "Part1" selected [id = 1]
Secondary commands: Select: Part: (Empty)
Secondary commands: Select: Part: (Empty)
Secondary commands: Select: Surface
Surface "Surface1" selected [id = 1]
```

## Tipo de modelos para CFD

- **Diferencias Finitas (DF):** (más sencillo)
  - Mallas estructuradas,
  - No son prácticos para geometrías complejas
- **Volúmenes finitos (VF):** (más común y potente)
  - Forma integral de las ecuaciones
  - Programas de cálculo: FLUENT, StarCCM, OpenFOAM...
- **Elementos finitos (EF):** (en FEBio, SimVascular)
  - Funciones de peso y de forma: operadores  $N, B$
  - Requiere **estabilización**, ¡Galerkin no funciona!
    - Estabilización SUPG:  
Hughes et al, F. Calvo (FEAP)...
    - Método  $\alpha$  generalizado:  
Hulbert et al, FEBio



# Modelos numéricos para fluidos

- Dinámica de Fluidos Computacional (CFD)
- **Sólidos**: se suele usar una descripción **Lagrangiana**, siguiendo las magnitudes de cada partícula. La malla se deforma con el sólido.
- **Fluidos**: se suele usar una descripción **Euleriana**, siguiendo las magnitudes de cada punto en el espacio. La malla es fija, el fluido fluye a través de la misma.
- La descripción Euleriana para los fluidos evita los problemas de distorsión de la malla, pero hace necesario considerar **términos convectivos** debidos a la velocidad del fluido.
- La aproximación numérica de los términos convectivos no puede ser la simétrica de Galerkin. Se producen importantes **inestabilidades**, que requieren técnicas especiales de diferenciación numérica (**diferenciación "upwind"**)



# Modelos numéricos – Sólidos y fluidos

## Modelos numéricos para sólidos (tejidos)

- Mallas **Lagrangianas** (siguen al material)
- **Mayor** dificultad y complejidad para **modelos constitutivos de los materiales**
- **Menor** dificultad para estabilidad numérica

## Modelos numéricos para fluidos

- Mallas **Eulerianas** (fijas en el espacio, las partículas fluyen a través de ellas)
- **Menor** dificultad y complejidad para modelos constitutivos del fluido
- **Mayor** dificultad para **estabilidad numérica** (términos convectivos, incompresibilidad)



## Materiales fluidos – FEBio User Manual

<b>4.16 Viscous Fluids</b>	.....
<b>4.16.1 General Specification of Fluid Materials</b>	.....
<b>4.16.2 Viscous Fluid Materials</b>	.....
<b>4.16.2.1 Newtonian Fluid</b>	.....
<b>4.16.2.2 Bingham Fluid</b>	.....
<b>4.16.2.3 Carreau Model</b>	.....
<b>4.16.2.4 Carreau-Yasuda Model</b>	.....
<b>4.16.2.5 Powell-Eyring Model</b>	.....
<b>4.16.2.6 Cross Model</b>	.....
<b>4.16.3 General Specification of Fluid-FSI Materials</b>	.....
<b>4.16.4 General Specification of Biphasic-FSI Materials</b>	.....
<b>4.16.5 General Specification of Fluid-Solutes Materials</b>	.....



## Materiales sólidos (elásticos) – FEBio User Manual

<b>4</b>	<b>Materials</b>	
4.1	Elastic Solids	
4.1.1	Specifying Fiber Orientation or Material Axes	
4.1.1.1	Transversely Isotropic Materials	
4.1.1.2	Orthotropic Materials	
4.1.2	Uncoupled Materials	
4.1.2.1	Arruda-Boyce	
4.1.2.2	Ellipsoidal Fiber Distribution Uncoupled	
4.1.2.3	Ellipsoidal Fiber Distribution Mooney-Rivlin	
4.1.2.4	Ellipsoidal Fiber Distribution Veronda-Westmann	
4.1.2.5	Fung Orthotropic	
4.1.2.6	Gent Material	
4.1.2.7	Uncoupled Holmes-Mow	
4.1.2.8	Holzappel-Gasser-Ogden	
4.1.2.9	Mooney-Rivlin	
4.1.2.10	Muscle Material	
4.1.2.11	Ogden	
4.1.2.12	Tendon Material	
4.1.2.13	Tension-Compression Nonlinear Orthotropic	
4.1.2.14	Transversely Isotropic Mooney-Rivlin	
4.1.2.15	Transversely Isotropic Veronda-Westmann	
4.1.2.16	Uncoupled Solid Mixture	
4.1.2.17	Veronda-Westmann	
4.1.2.18	Mooney-Rivlin Von Mises Distributed Fibers	
4.1.2.19	Isotropic Lee-Sacks uncoupled	
4.1.3	Fiber Active Contraction	
4.1.3.1	Active Contraction	
4.1.3.2	Force-Velocity Active Contraction	
4.1.4	Unconstrained Materials	
4.1.4.1	Arruda-Boyce Unconstrained	
4.1.4.2	Carter-Hayes	
4.1.4.3	Cell Growth	
4.1.4.4	Kinematic Growth	
4.1.4.5	Cubic CLE	
4.1.4.6	Donnan Equilibrium Swelling	
4.1.4.7	Ellipsoidal Fiber Distribution	
4.1.4.8	Ellipsoidal Fiber Distribution Neo-Hookean	
4.1.4.9	Ellipsoidal Fiber Distribution with Donnan Equilibrium Swelling	
4.1.4.10	Fung Orthotropic Compressible	
4.1.4.11	Gent Compressible	
4.1.4.12	Holmes-Mow	
4.1.4.13	Holzappel-Gasser-Ogden Unconstrained	
4.1.4.14	Isotropic Elastic	
4.1.4.15	Orthotropic Elastic	
4.1.4.16	Orthotropic CLE	
4.1.4.17	Osmotic Pressure from Virial Expansion	
4.1.4.18	Natural Neo-Hookean	
4.1.4.19	Neo-Hookean	
4.1.4.20	Coupled Mooney-Rivlin	
4.1.4.21	Coupled Veronda-Westmann	
4.1.4.22	Ogden Unconstrained	
4.1.4.23	Perfect Osmometer Equilibrium Osmotic Pressure	
4.1.4.24	Porous Neo-Hookean	
4.1.4.25	Lung Material	
4.1.4.26	Solid Mixture	
4.1.4.27	Spherical Fiber Distribution	
4.1.4.28	Spherical Fiber Distribution from Solid-Bound Molecule	
4.1.4.29	Coupled Transversely Isotropic Mooney-Rivlin	
4.1.4.30	Coupled Transversely Isotropic Veronda-Westmann	
4.1.4.31	Large Poisson's Ratio Ligament	
4.1.4.32	Shenoy-Wang material	

## Materiales sólidos (fibras, viscoelásticos) – FEBio User Manual

4.2	Fibers	.....		
4.2.1	Unconstrained Fiber Models	.....		
4.2.1.1	Fiber with Exponential-Power Law	.....		
4.2.1.2	Fiber with Neo-Hookean Law	.....		
4.2.1.3	Fiber with Natural Neo-Hookean Law	.....		
4.2.1.4	Fiber with Toe-Linear Response	.....		
4.2.1.5	Fiber with Exp-Pow-Linear Response	.....		
4.2.1.6	Fiber Exp-Linear	.....		
4.2.1.7	Fiber as Entropy Chain	.....		
4.2.2	Uncoupled Fiber Models	.....		
4.2.2.1	Fiber with Exponential-Power Law, Uncoupled Formulation	.....		
4.2.2.2	Fiber Kiousis Uncoupled	.....		
4.2.2.3	Fiber with Toe-Linear Response, Uncoupled Formulation	.....		
4.2.2.4	Uncoupled Fiber Exp-Linear	.....		
4.2.2.5	Uncoupled Fiber as Entropy Chain	.....		
4.3	Continuous Fiber Distribution	.....		
4.3.1	Unconstrained Continuous Fiber Distribution	.....		
4.3.2	Uncoupled Continuous Fiber Distribution	.....		
4.3.3	Distribution	.....		
4.3.3.1	Spherical	.....		
4.3.3.2	Ellipsoidal	.....		
4.3.3.3	$\pi$ -Periodic von Mises Distribution	.....		
4.3.3.4	Circular	.....		
4.3.3.5	Elliptical	.....		
4.3.3.6	von Mises Distribution	.....		
4.3.4	Scheme	.....		
4.3.4.1	Gauss-Kronrod Trapezoidal Rule	.....		
4.3.4.2	Finite Element Integration Rule	.....		
4.3.4.3	Trapezoidal Rule	.....		
4.4	Viscoelastic Solids	.....		
4.4.1	Uncoupled Viscoelastic Materials	.....		
4.4.2	Unconstrained Viscoelastic Materials	.....		
4.5	Reactive Viscoelastic Solid	.....		
4.5.1	Relaxation Functions	.....		
4.5.1.1	Exponential	.....		
4.5.1.2	Exponential Distortional	.....		
4.5.1.3	Exponential Distortional User-Specified	.....		
4.5.1.4	Exponential Continuous Spectrum	.....		
4.5.1.5	Exponential Continuous Spectrum Distortional User-Specified	.....		
4.5.1.6	Fung	.....		
4.5.1.7	Malkin	.....		
4.5.1.8	Malkin Distortional	.....		
4.5.1.9	Malkin Distortional User-Specified	.....		
4.5.1.10	Park	.....		
4.5.1.11	Park Distortional	.....		
4.5.1.12	Park Distortional User-Specified	.....		
4.5.1.13	Power	.....		
4.5.1.14	Power Distortional	.....		
4.5.1.15	Power	.....		
4.5.1.16	Prony	.....		





## Materiales sólidos (daño, plasticidad) – FEBio User Manual

4.6	Reactive Damage Mechanics	4.6.2.5	Step
4.6.1	General Specification of Damage Materials	4.6.2.6	Power
4.6.2	Cumulative Distribution Functions	4.6.3	Damage or Yield Criterion
4.6.2.1	Simo	4.6.3.1	Simo
4.6.2.2	Log-Normal	4.6.3.2	Strain Energy Density
4.6.2.3	Weibull	4.6.3.3	Specific Strain Energy
4.6.2.4	Quintic Polynomial	4.6.3.4	Von Mises Stress
		4.6.3.5	Maximum Shear Stress
		4.6.3.6	Maximum Normal Stress
		4.6.3.7	Drucker Shear Stress
		4.6.3.8	Maximum Normal Lagrange Strain
		4.6.3.9	Octahedral Shear Strain
4.7	Reactive Plasticity	4.7	Reactive Plasticity
4.7.1	Kinematic "Hardening" Response	4.7.1	Kinematic "Hardening" Response
4.7.2	Plastic Flow Curve	4.7.2	Plastic Flow Curve
4.7.2.1	User-Specified Flow Curve	4.7.2.1	User-Specified Flow Curve
4.7.2.2	Mathematical Expression for Flow Curve	4.7.2.2	Mathematical Expression for Flow Curve
4.7.2.3	Custom Flow Curve	4.7.2.3	Custom Flow Curve
4.7.3	Specification of Reactive Elasto-Plastic Solid	4.7.3	Specification of Reactive Elasto-Plastic Solid
4.8	Reactive Elasto-Plastic Damage Mechanics	4.8	Reactive Elasto-Plastic Damage Mechanics
4.8.1	Theoretical Formulation	4.8.1	Theoretical Formulation
4.8.1.1	Stress and Damage	4.8.1.1	Stress and Damage
4.8.1.2	Damage Measures	4.8.1.2	Damage Measures
4.8.2	Specification of Reactive Elasto-Plastic Damage Solid	4.8.2	Specification of Reactive Elasto-Plastic Damage Solid



# Modelos numéricos fluidos – Volúmenes Finitos

Para evaluar las integrales

$$\frac{\partial}{\partial t} \int_V \rho u_i dV + \int_S \rho u_i \mathbf{v} \cdot \mathbf{n} dS = \int_S \mathbf{t}_i \cdot \mathbf{n} dS + \int_V \rho b_i dV ,$$

$$\frac{\partial}{\partial t} \int_V \rho dV + \int_S \rho \mathbf{v} \cdot \mathbf{n} dS = 0 ,$$

se emplean puntos de integración de volumen y de superficies o caras:

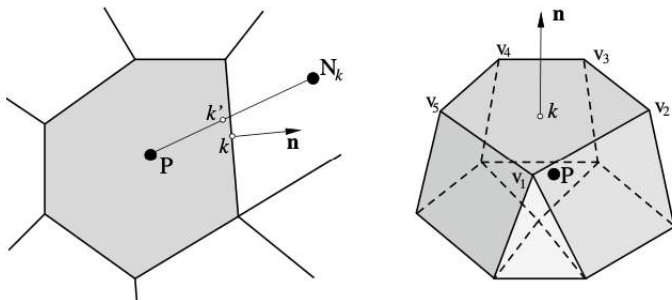
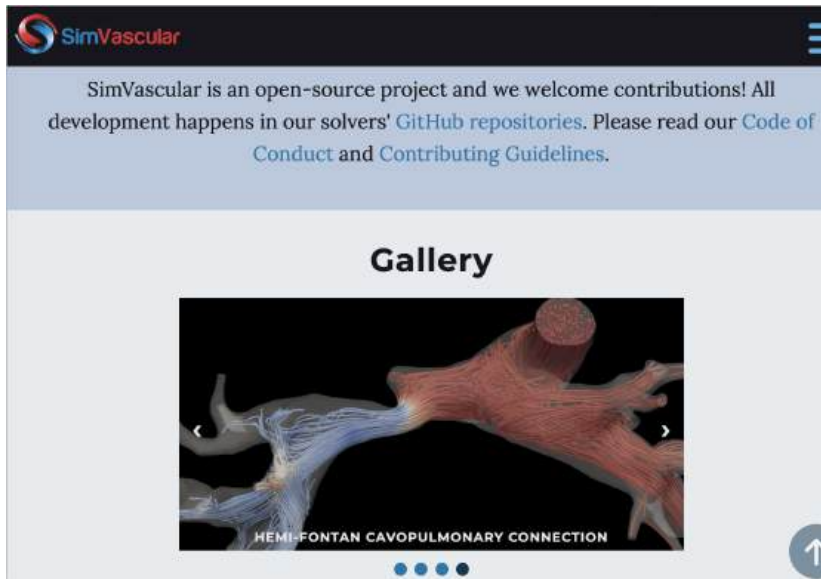


Fig. 9.18 General 2D and 3D control volume and the notation used



# Software Libre: SimVascular



The screenshot shows the SimVascular website. At the top left is the SimVascular logo, which consists of a stylized 'S' in a circle followed by the text 'SimVascular'. Below the logo is a light blue banner with the text: 'SimVascular is an open-source project and we welcome contributions! All development happens in our solvers' [GitHub repositories](#). Please read our [Code of Conduct](#) and [Contributing Guidelines](#).' Below the banner is a section titled 'Gallery' in a large, bold, black font. Underneath the title is a large image of a 3D medical model of a 'HEMI-FONTAN CAVOPULMONARY CONNECTION'. The model shows a complex network of blood vessels in shades of red and blue, with a central cylindrical structure. Below the image are four small blue circles, with the first one being larger and filled, indicating the current slide in a gallery. To the right of the image is a circular button with an upward-pointing arrow. In the bottom right corner of the website screenshot, there is a small circular icon with a book symbol.

<https://simvascular.github.io/>

# Índice

## 1 Introducción

- Ingeniería Biomédica y Biomecánica Computacional

## 2 Tejidos blandos

- Composición y propiedades mecánicas
- Modelos: Elasticidad no lineal

## 3 Fluidos

- Modelos para CFD
- Fenómenos básicos y aplicaciones

## 4 Modelos numéricos – Elementos Finitos

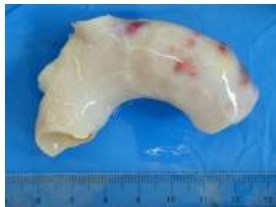
- Concepto EF 1 gdl
- Ecuaciones para elasticidad no lineal
- Discretización – Galerkin
- Resolución ecuaciones no lineales
- SW (libre) para sólidos y fluidos

## 5 Aplicaciones

- Ejemplos de aplicación: Aorta
- Ejemplos de aplicación: Coronarias

# Doblado y presurizado de aorta humana

## Descripción del problema

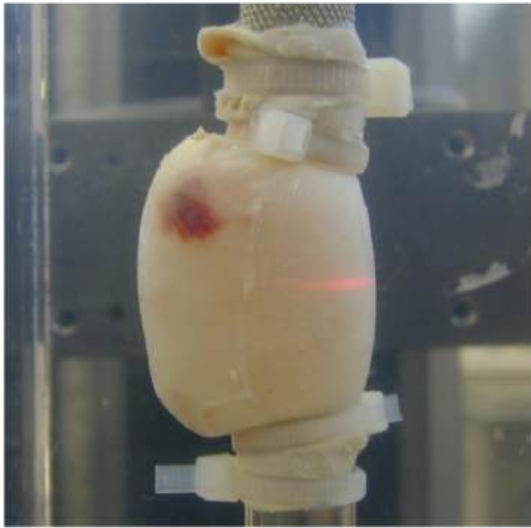


*Montaje del vaso*



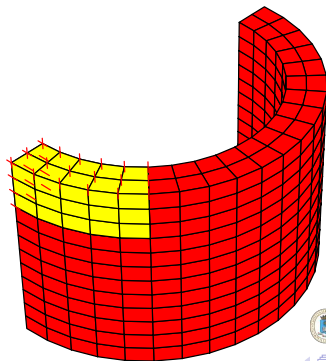
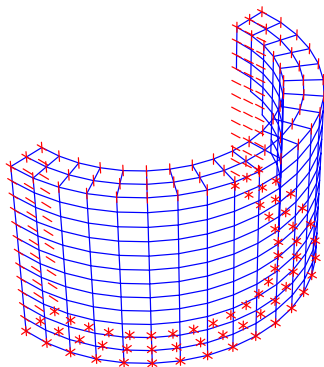
*Probeta montada antes de inflar*

# Doblado y presurizado de aorta humana



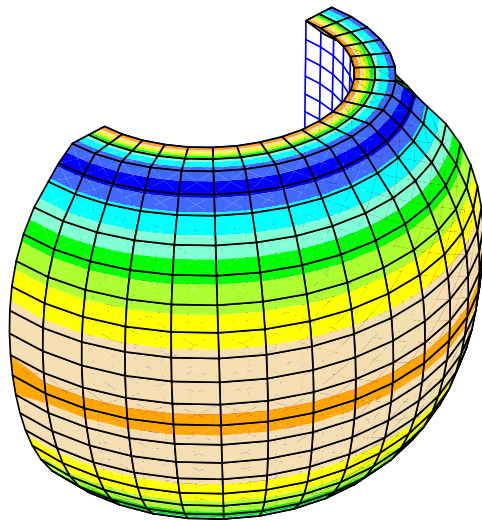
# Ejemplo: presión interior en aorta con ateroma

- $R_i = 5,6$  mm,  $e = 1,6$  mm,  $H = 17$  mm,  $a = 46,97$  kPa,  $b = 1,15$ .
- Presión interior  $p = 200$  mmHg (fuerza seguidora)
- Material hiperelástico  $W = \frac{1}{2}K \ln^2 J + \frac{a}{b} \left[ e^{\frac{b}{2}(I_1-3)} - 1 \right]$
- Grandes deformaciones y desplazamientos. **no linealidad geométrica y material.**
- Ateroma: tejido fibroso, rigidez  $\times 6$

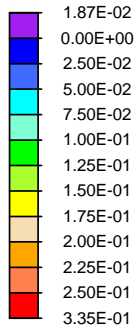


# Ejemplo: presión interior en aorta sin ateroma

## Secuencia de mallas deformadas



Prin. Stress 1



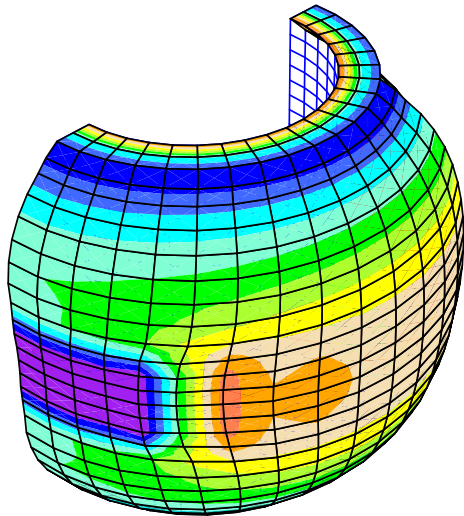
Time = 1.00E+00



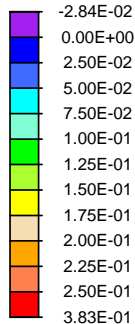


# Ejemplo: presión interior en aorta con ateroma

## Secuencia de mallas deformadas



Prin. Stress 1

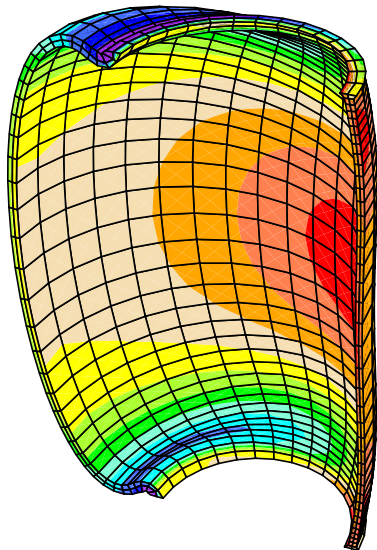


Time = 1.00E+00

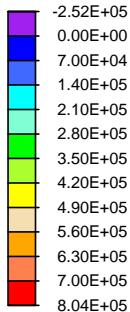


# Simulación del doblado y presurizado de una aorta

## Secuencia de mallas deformadas



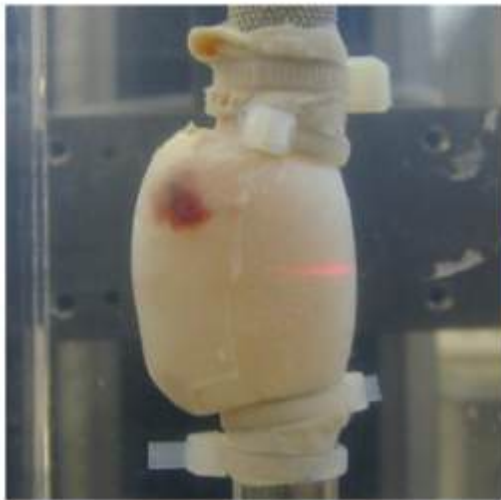
Prin. Stress 1



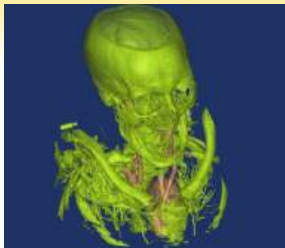
Time = 1.00E+00



# Simulación del doblado y presurizado de una aorta



## Geometría del cayado aórtico y simulación flujo



SEGMENTACIÓN DE TOMOGRAFÍAS  
COMPUTERIZADAS (CT'S)



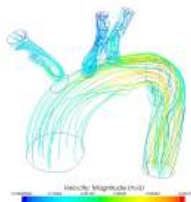
MUESTRAS DE TEJIDO Y  
DIGITALIZACIÓN (ESCANEADO 3D)



AJUSTE DE CAD Y MALLADO DE ELEMENTOS  
FINITOS.



MALLA DE VOLÚMENES  
FINITOS DE AORTA



LÍNEAS DE CORRIENTE EN UN  
INSTANTE DE LA SIMULACIÓN

## SEGMENTACIÓN

- ITK-Snap
- Imágenes
  - Sana: Repositorio 3D-Slicer
  - Aneurismática: Hospital Universitario Puerta de Hierro

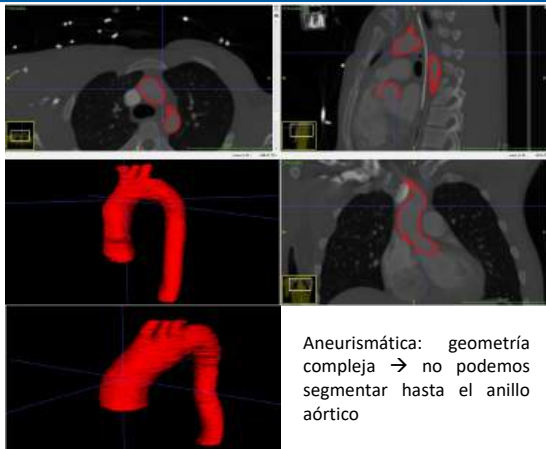
Poca resolución y cortes con mucha distancia entre sí



- Segmentación paredes aorta de forma manual → corte a corte
- Reconstrucción 3D de objeto STL → puntos unidos topológicamente formando triángulos



Obtenemos volumen entre caras interna y externa pared aórtica



Aneurismática: geometría compleja → no podemos segmentar hasta el anillo aórtico

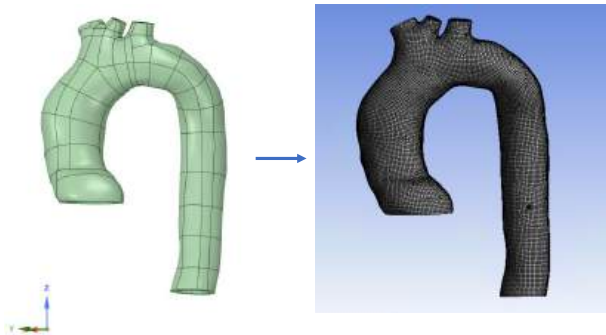
## PARCHES NURBS Y MALLADO: AORTA SANA

- Entornos SpaceClaim y Mechanical de Ansys
- Parches NURBS → permiten generar mallas más finas o gruesas de forma automática



Malla:

- **Hexaédrica**
- **Estructurada:** líneas circunferenciales y meridionales



## PARCHES NURBS Y MALLADO: AORTA ANEURISMÁTICA

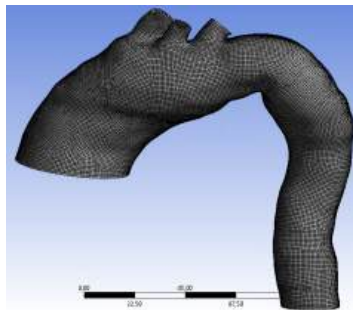
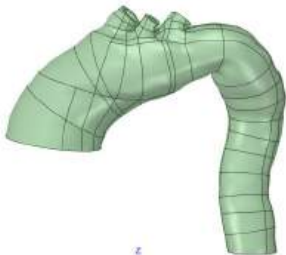
Limitaciones de tiempo



Parches NURBS no completamente meridionales o circunferenciales



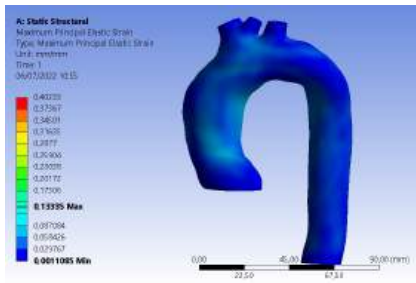
Defectos malla



# Estudio Aneurisma Aorta ascendente

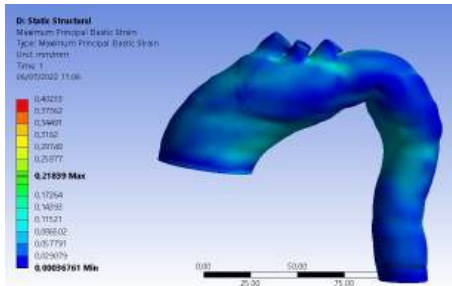
## RESULTADOS: MODELO NEOHOOKEANO ( $c=120$ kPa)

Aorta sana



RR = 0,08

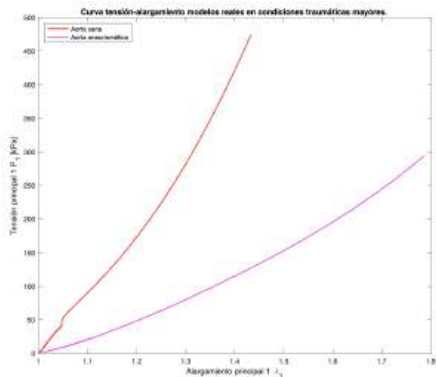
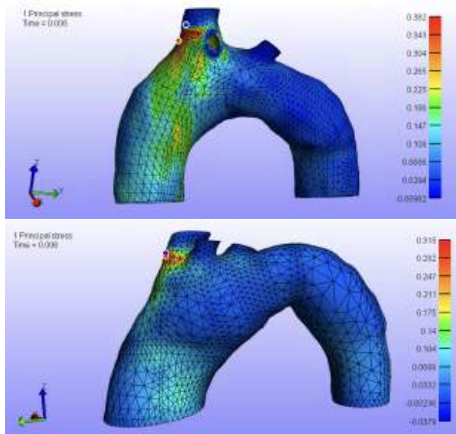
Aorta aneurismática



RR = 0,15



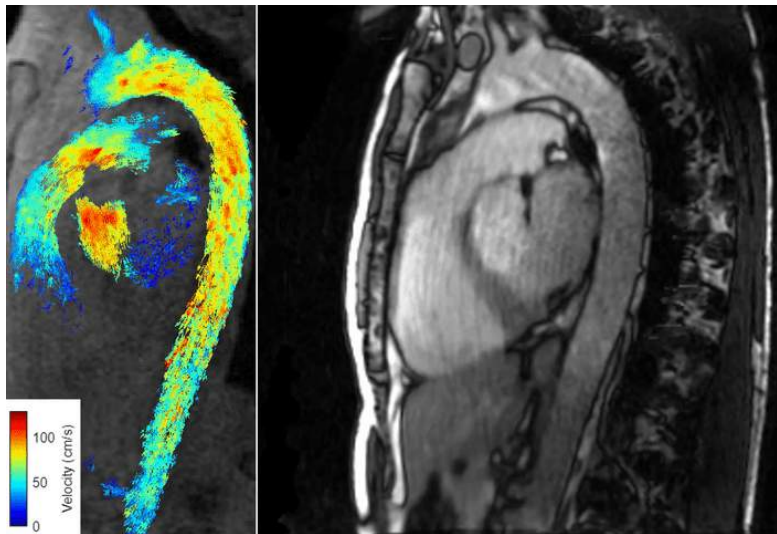
# Arco aórtico - Material con fibras HOG



TFM Laura García, 2023.



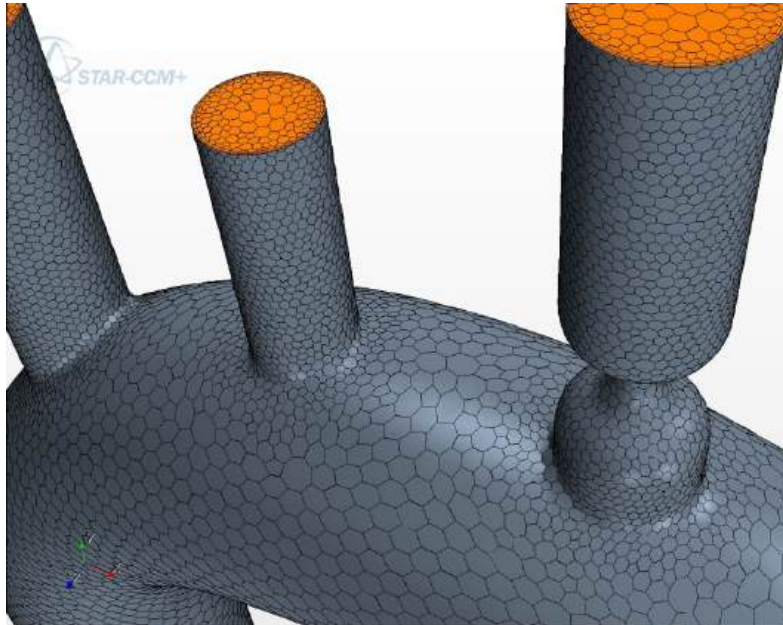
# Ejemplos de aplicación: Aorta – Imágenes médicas



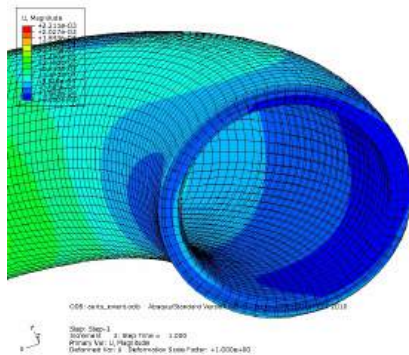
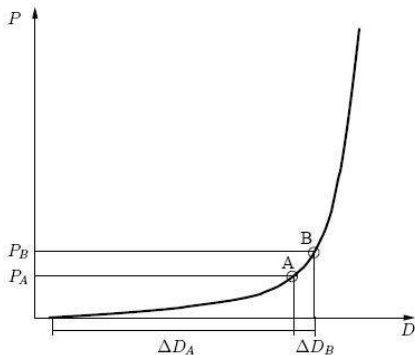
Aortic 3D CINE bSSFP and 4D flow applications (1 mm isotropic resolution), Eric Schrauben et al 2023



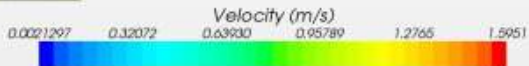
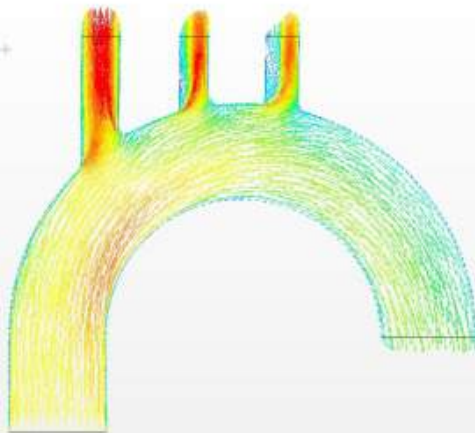
# Ejemplos de aplicación: Aorta – Mallado fluido VF



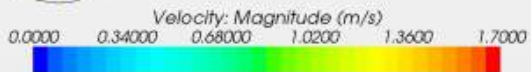
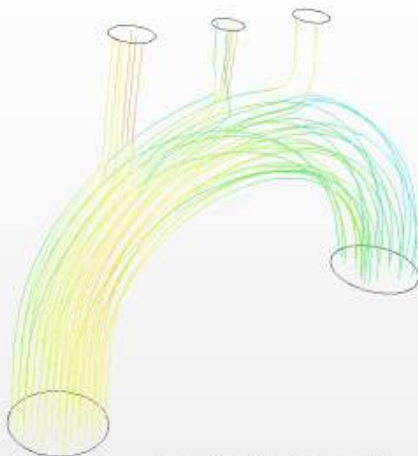
# Aorta – Tensiones iniciales en pared arterial



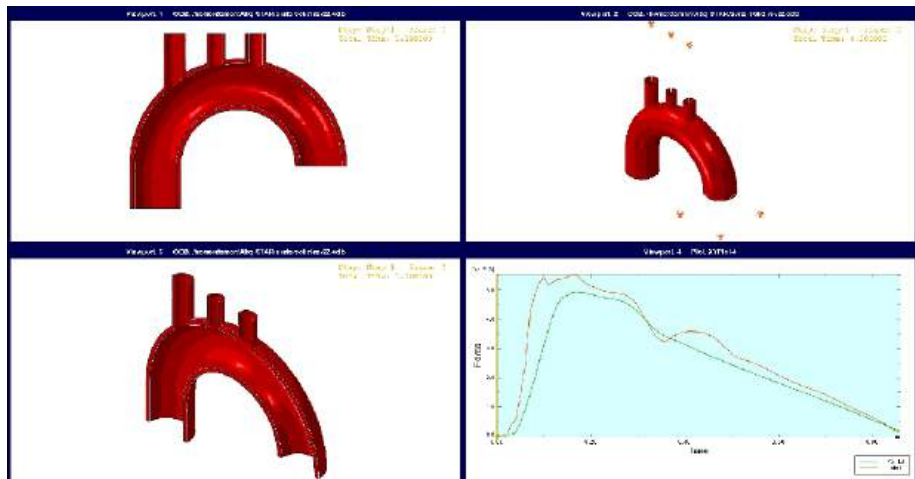
# Aorta – caso sano



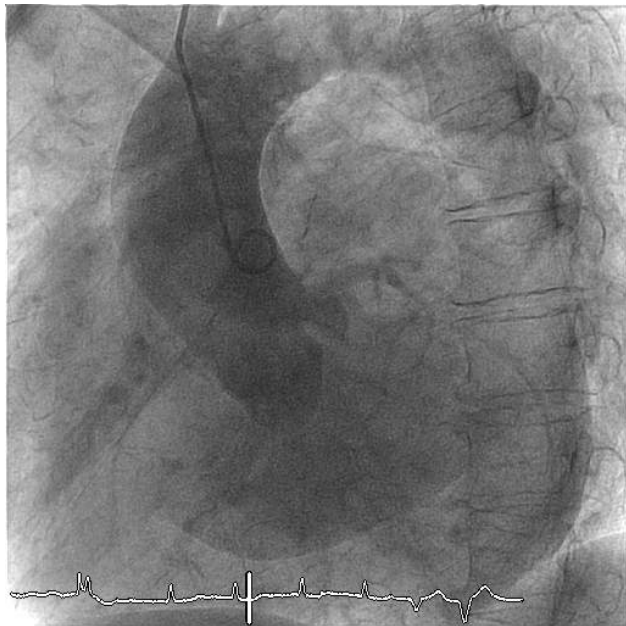
# Aorta – caso sano



# Aorta – caso sano

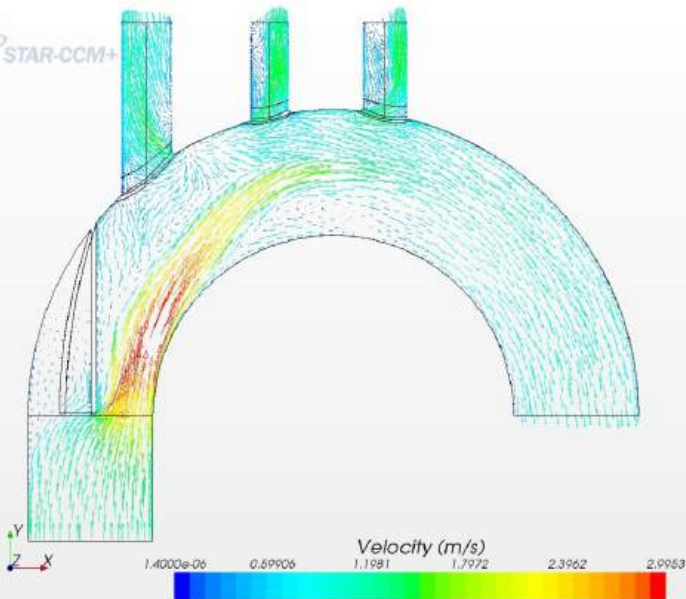


# Aorta – estenosis en válvula

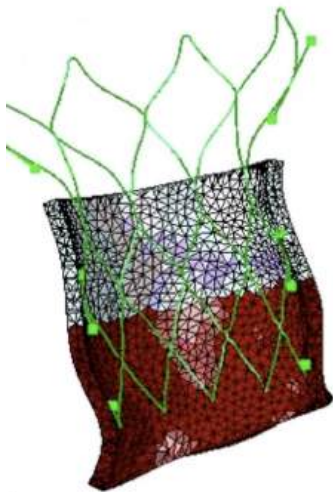




# Aorta – disección en rama ascendente



# TAVI – Transcatheter Aortic Valve Implantation



TFM Candela Arrieta, 2023.



# DAVI – optimización del flujo

- El **fallo ventricular** es una patología con repercusiones muy graves sobre la salud y la vida.
- La solución es el trasplante de corazón, pero algunas circunstancias como la escasez de corazones o la debilidad del paciente han hecho necesario el desarrollo de **dispositivos de asistencia ventricular izquierda (DAVI)** como solución alternativa al trasplante.
- Un ejemplo de DAVI es el **HeartMate 3** desarrollado por Abbott.

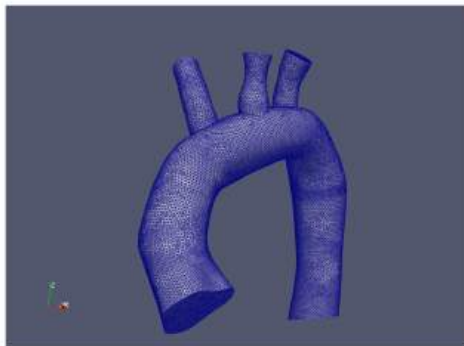
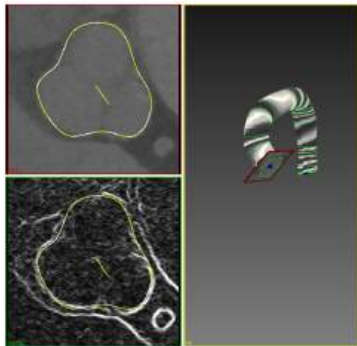


TFG Angélica Casero, 2024.



# DAVI – optimización del flujo

- **SimVascular**: Programa de código abierto para segmentación, mallado y simulación en hemodinámica.
- **Segmentación**: Basada en PATHS y SEGMENTATIONS.
- **Malla**: Elementos triangulares en la superficie, tetraedros en el volumen.

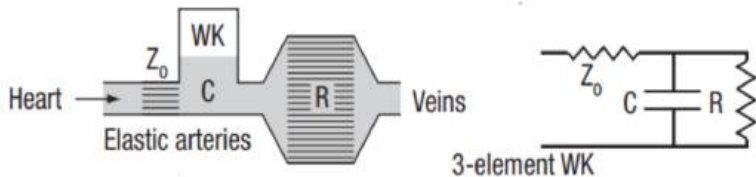


TFG Angélica Casero, 2024.



# DAVI – optimización del flujo

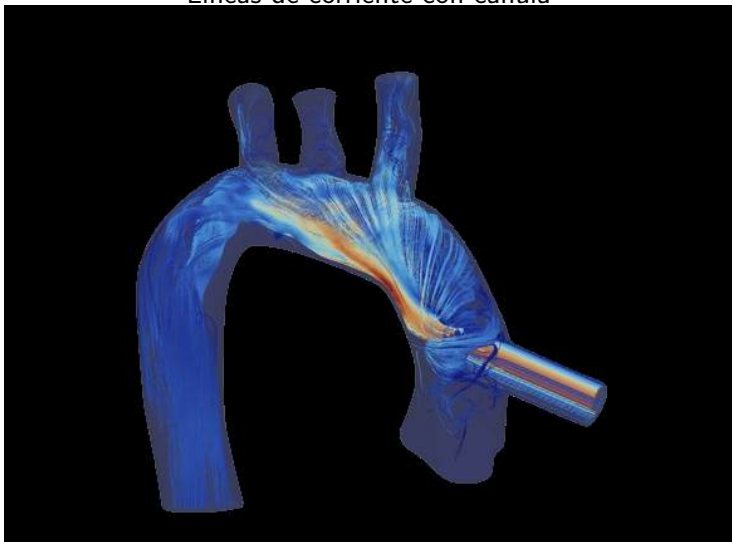
- Permite conectar el modelo **3D** con el resto del sistema circulatorio mediante un modelo de **0D**.
- Caracteriza la interacción del sistema vascular con una analogía similar a un sistema eléctrico.
  - 1 **Capacidad**: Determinada por la elasticidad de la pared de la aorta y los vasos que salen de esta.
  - 2 **Resistencia**: Oposición que ejercen los vasos al paso de la sangre.
- Se establece este modelo como condiciones de contorno en las salidas que conectan el modelo 3D con el resto del sistema circulatorio.



TFG Angélica Casero, 2024.

# DAVI – optimización del flujo

Líneas de corriente con cánula



TFG Angélica Casero, 2024.



# DAVI – optimización del flujo

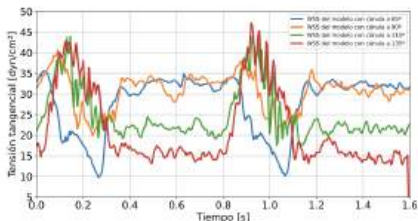
Situación actual del dispositivo.

- **Presión**

- 1 Valores de presión en **rango fisiológico**.
- 2 Valores de gradiente de gradiente positivos en sístole en orientaciones  $90^\circ$  y  $135^\circ$ . Excesivamente alto en  $135^\circ$ .

- **Tensión tangencial**

- 1 Valores más cercanos a los valores reales.
- 2 Resultados entre orientaciones muy diferentes en la aorta ascendente.



- **Velocidad:** Valores coherentes con la tesis de Damon Afkari.

TFG Angélica Casero, 2024.

# Índice

- 1 **Introducción**
  - Ingeniería Biomédica y Biomecánica Computacional
- 2 **Tejidos blandos**
  - Composición y propiedades mecánicas
  - Modelos: Elasticidad no lineal
- 3 **Fluidos**
  - Modelos para CFD
  - Fenómenos básicos y aplicaciones
- 4 **Modelos numéricos – Elementos Finitos**
  - Concepto EF 1 gdl
  - Ecuaciones para elasticidad no lineal
  - Discretización – Galerkin
  - Resolución ecuaciones no lineales
  - SW (libre) para sólidos y fluidos
- 5 **Aplicaciones**
  - Ejemplos de aplicación: Aorta
  - Ejemplos de aplicación: Coronarias



# Coronarias – Angioplastia compleja en bifurcación



Antes de la intervención (estenosis)

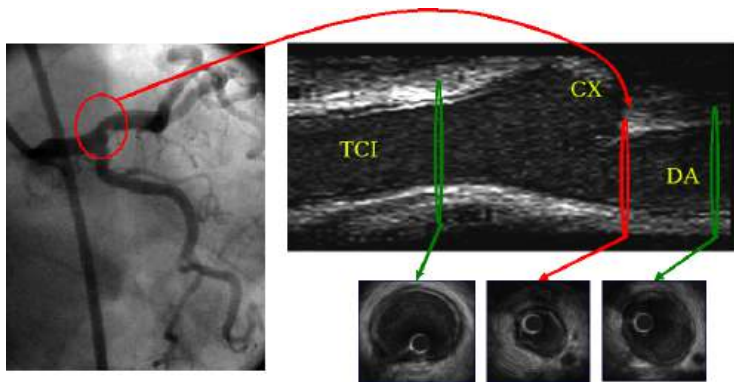


Después de la intervención (stents colocados)



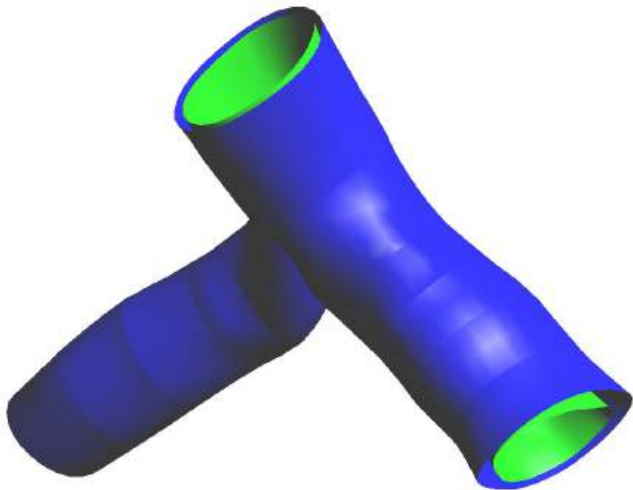
# Coronarias – Obtención de geometría in vivo

- Angiografía biplano reconstruye la trayectoria del catéter
- Contornos internos y externos de la pared por segmentación de imágenes IVUS orientadas
- Slager et al [Circulation 2000], Wentzel et al [J. Biom. 2003]
- Ejemplo: *remodelación negativa afectando el flujo en la bifurcación*

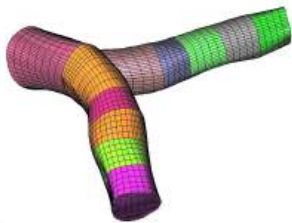


# Ejemplos de aplicación: Coronarias – Reconstrucción 3D: luz y pared

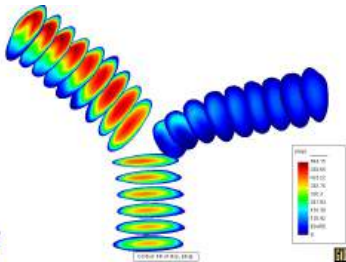
*Bifurcation LAD – CX*



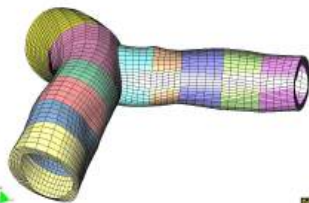
# Coronarias – modelo de bifurcación, coronaria izq.



fluido: 16878 elementos



Velocidad



sólido: 16425 elementos



Líneas de corriente

# Coronarias – Tensiones sobre el endotelio



Tensión tangencial



Tensión total ( $\approx$  normal)



# Estenosis en arterias coronarias

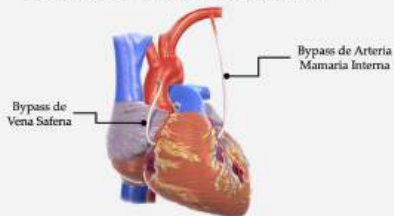
## Métodos de intervención habituales

- Para estenosis de poca gravedad: tratamientos farmacológicos
- Para estenosis severas: intervención quirúrgica
  - Intervención Coronaria Percutánea (ICP): angioplastia percutánea con balón, con o sin implantación de stent
  - Cirugía de Revascularización Miocárdica (CRM): bypass coronario con injertos de vena o arteria del paciente
- En ocasiones se realiza intervención quirúrgica cuando no es estrictamente necesario → Índices fisiológicos para determinar la gravedad de la lesión

- Intervención Coronaria Percutánea (ICP):



- Cirugía de Revascularización Miocárdica (CRM):



TFG Natalia Bru, 2024.



# Estenosis en arterias coronarias

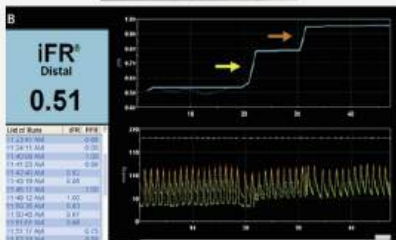
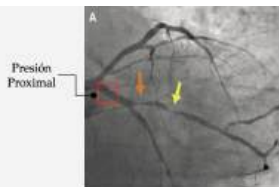
## Índices fisiológicos para el diagnóstico

- Método de diagnóstico de estenosis habitual: angiografía coronaria de contraste o TAC coronario
- Limitación a la hora de estimar la gravedad de la lesión e invasividad
- Índices fisiológicos: determinar el impacto hemodinámico de las lesiones coronarias

$$FFR = \frac{\text{presión distal}}{\text{presión aórtica}} \quad (\text{En hiperhemia})$$

$$iFR = \frac{\text{presión distal}}{\text{presión aórtica}} \quad (\text{En periodo libre de ondas})$$

- Sensor de presión en el extremo de un catéter
- Índice fisiológico muy novedoso: QFR (*Quantitative Flow Ratio*)
- Lesión coronaria grave cuando:  $FFR < 0,80$ ,  $iFR < 0,89$  o  $QFR < 0,80$



# Estenosis en arterias coronarias

## Imágenes Médicas

- Colaboración con la unidad de "Hemodinámica y Cardiología Intervencionista" del Hospital Puerta de Hierro de Madrid.
- Paciente varón de 66 años con obstrucciones coronarias en la arteria descendente anterior
- Imágenes de Tomografía Computarizada
- Imagen de co-registro de iFR
- Al paciente se le realizó un cateterismo con angioplastia

## Imagen de co-registro iFR

- Punto amarillo: caída de iFR de 0,01
- Partimos de iFR = 1 en la zona proximal
- El iFR en la zona distal es 0,79



TFG Natalia Bru, 2024.



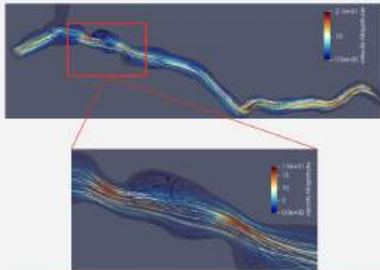


# Estenosis en arterias coronarias

## Modelo 1: a partir de imágenes de TC

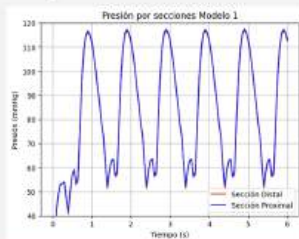
### Velocidades y líneas de flujo

- Aumento local de la velocidad en la zona de las obstrucciones
- Aparece turbulencia



### Presiones e IFR

- Presiones iguales en sección distal y proximal → resultado no representativo del caso clínico del paciente
- $iFR = 0,995 \approx 1$  → caída de presión despreciable
- Necesidad de herramientas adicionales en construcción de modelos a partir de TC: IVUS, umbrales, etc.



TFG Natalia Bru, 2024.



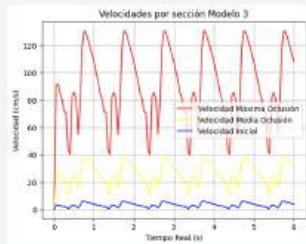
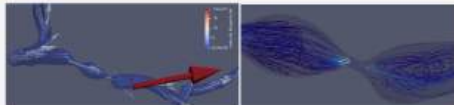
# Estenosis en arterias coronarias

## Modelo 3: estenosis de mayor grado

### Velocidades y líneas de flujo

- Incremento de velocidad muy llamativo en la zona de obstrucción
- Variaciones en la dirección de velocidad de flujo
- Disminución de líneas de flujo tras la obstrucción e incremento de la turbulencia
- Media de velocidad por secciones y representación gráfica
  - Velocidad media en la zona de entrada
  - Velocidad media en la obstrucción principal
  - Velocidad máxima en la obstrucción principal (velocidad máxima en el modelo)
- Incrementos de velocidad en obstrucciones → Ley de continuidad de fluidos:

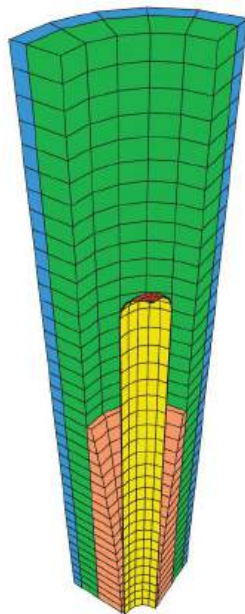
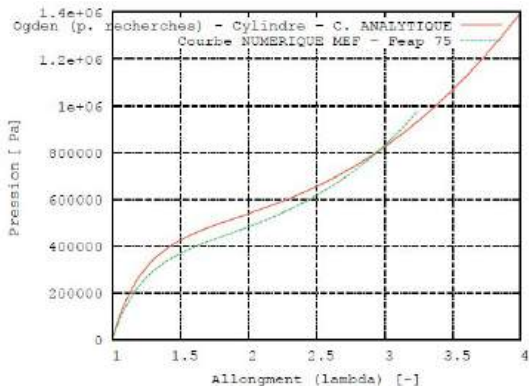
$$A_1 \cdot v_1 = A_2 \cdot v_2$$



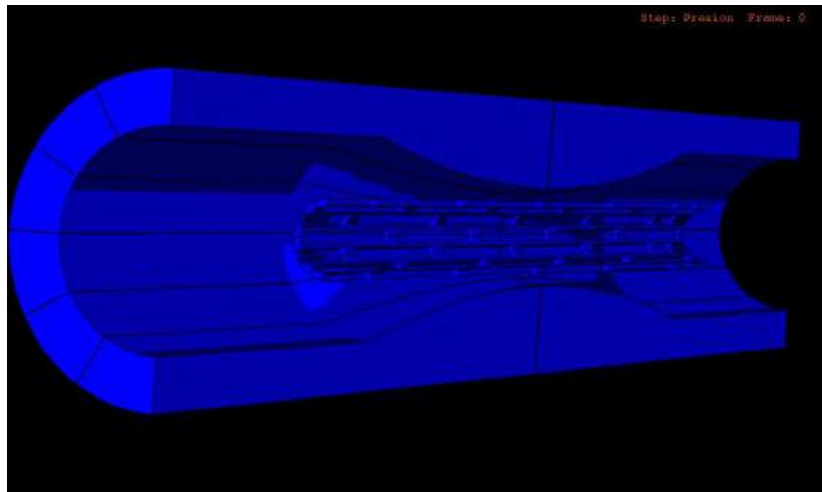
TFG Natalia Bru, 2024.



# Simulación de angioplastia con balón



# Simulación de angioplastia con balón y stent



Movie

